

# Imagerie Sismique de la Terre Profonde

## *Cours no 4 - Tomographie "de forme d'onde"*

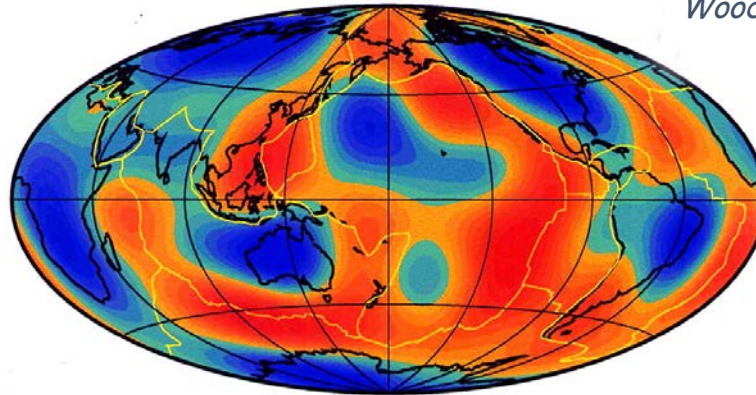
Barbara Romanowicz  
*Chaire de Physique de l'Intérieur de la Terre  
Collège de France, Paris*

19 Novembre 2019

Les ondes de surface nous renseignent sur la structure à grande échelle dans le manteau supérieur

Model M84C (100 km)

Woodhouse and Dziewonski, 1984

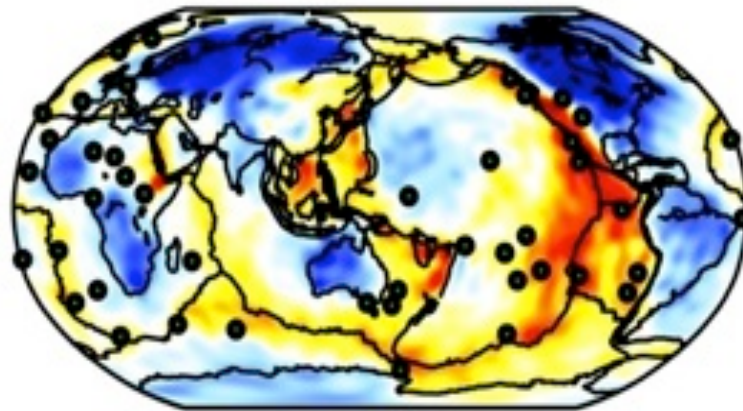


$\delta \ln V_s$  (isotrope)

Profondeur = 100 km

-5%  +5%

S40RTS

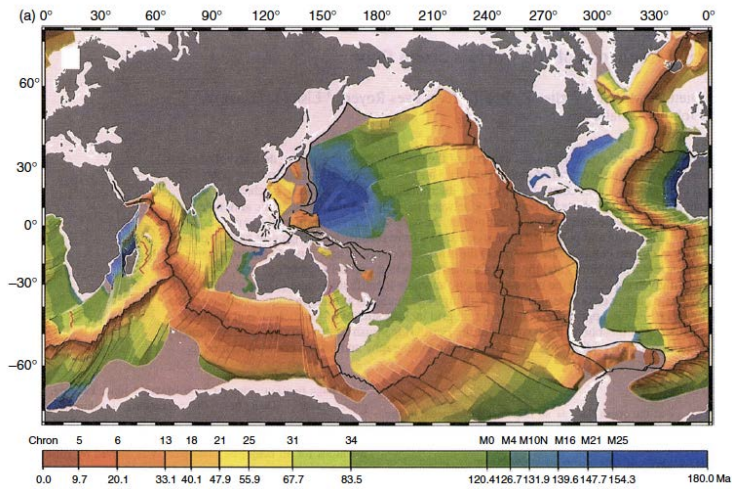


 6  
3  
0  
-3  
-6  
 $d \ln V_s$  (%)

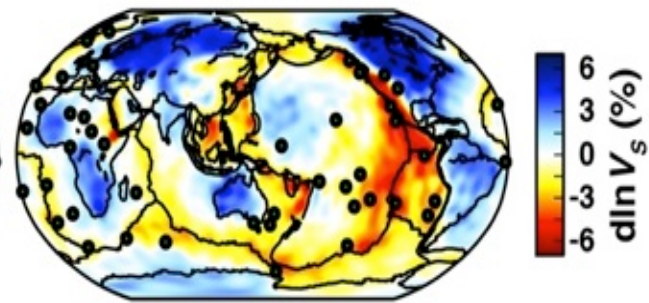
$\delta \ln V_s$  (ondes de Rayleigh)

Ritsema et al., 2011

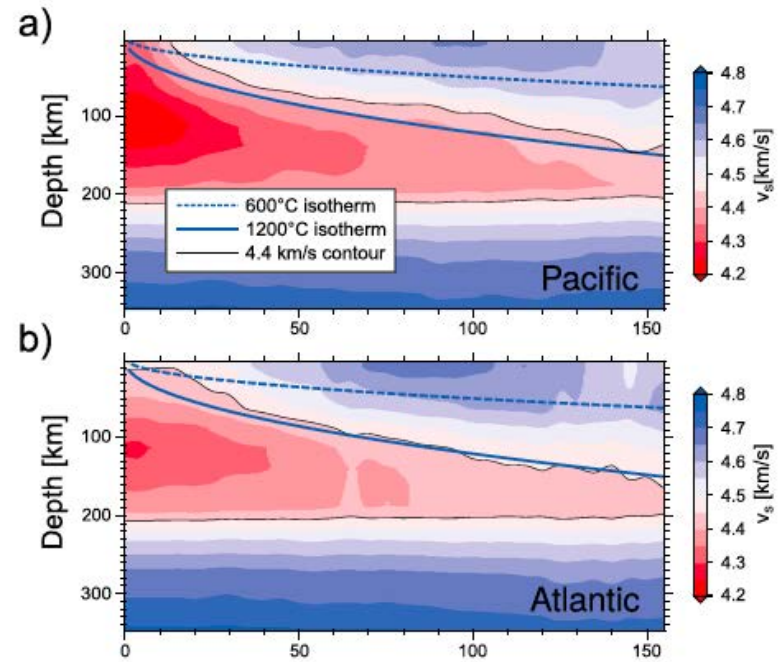
## Age des fonds océaniques



## S40RTS



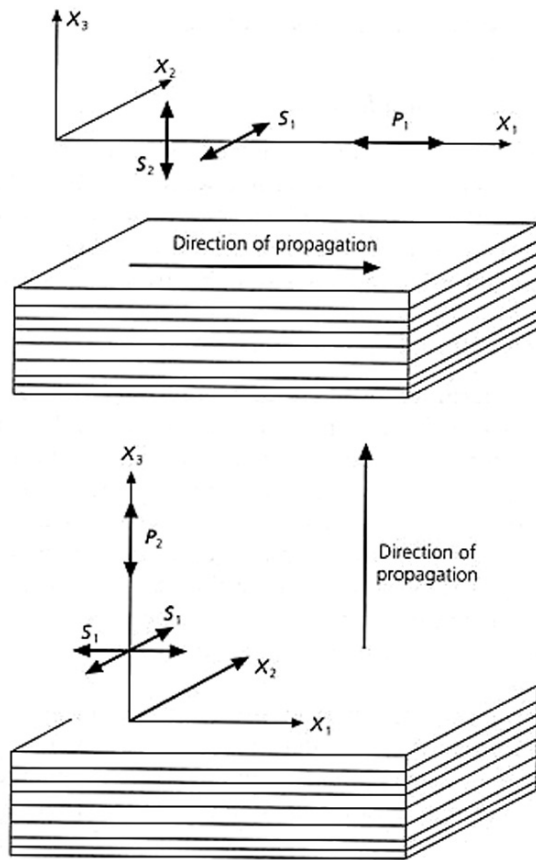
Refroidissement des plaques océaniques vu par la tomographie des ondes de surface:



Vs isotrope

Auer et al., 2015

## Anisotropie radiale (VTI- Vertical Transverse Isotropy)



e.g.:

Anisotropie due à une structure en couches

5 paramètres élastiques indépendants :

A, C, F, L, N (Love, 1911)

$$L = \rho V_{sv}^2$$

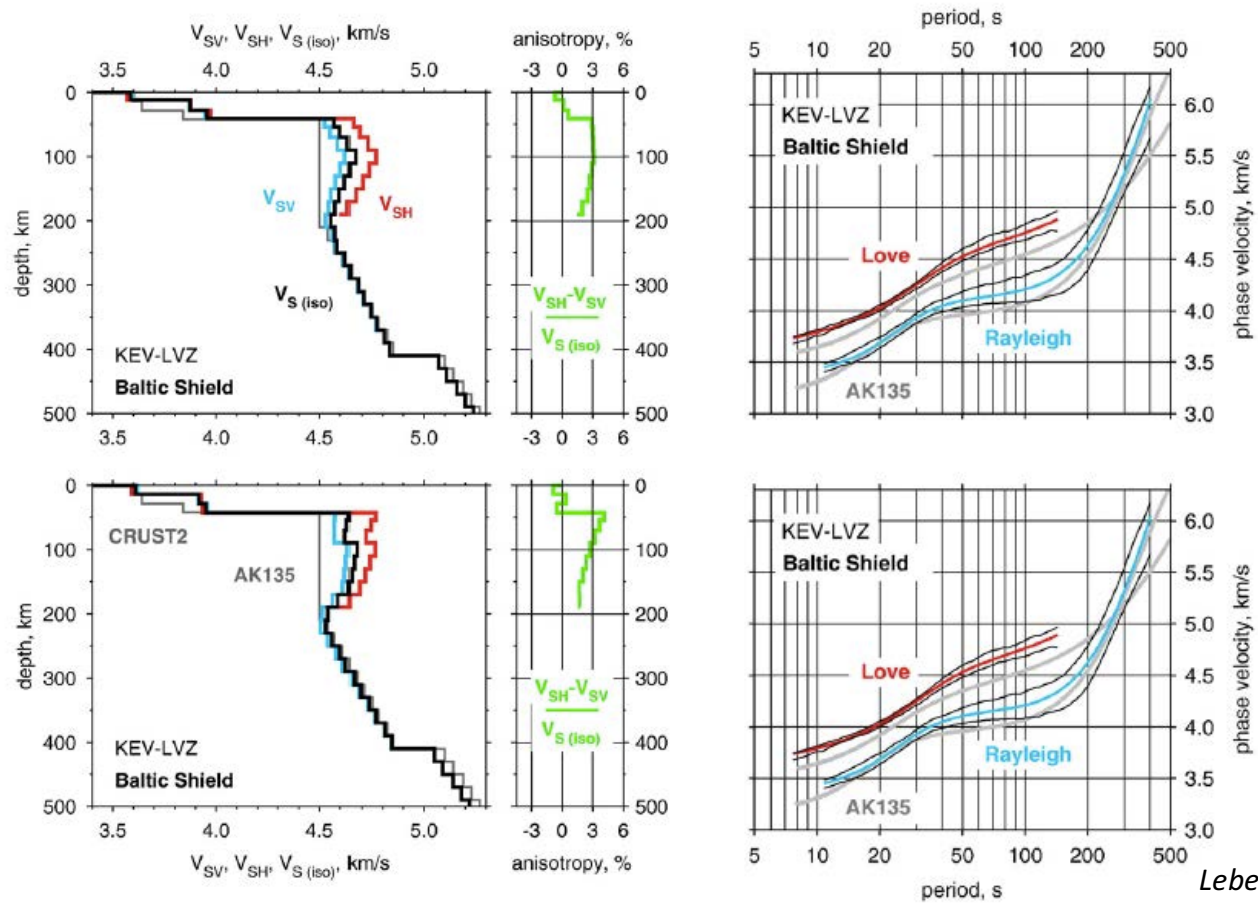
$$N = \rho V_{sh}^2$$

$$C = \rho V_{pv}^2$$

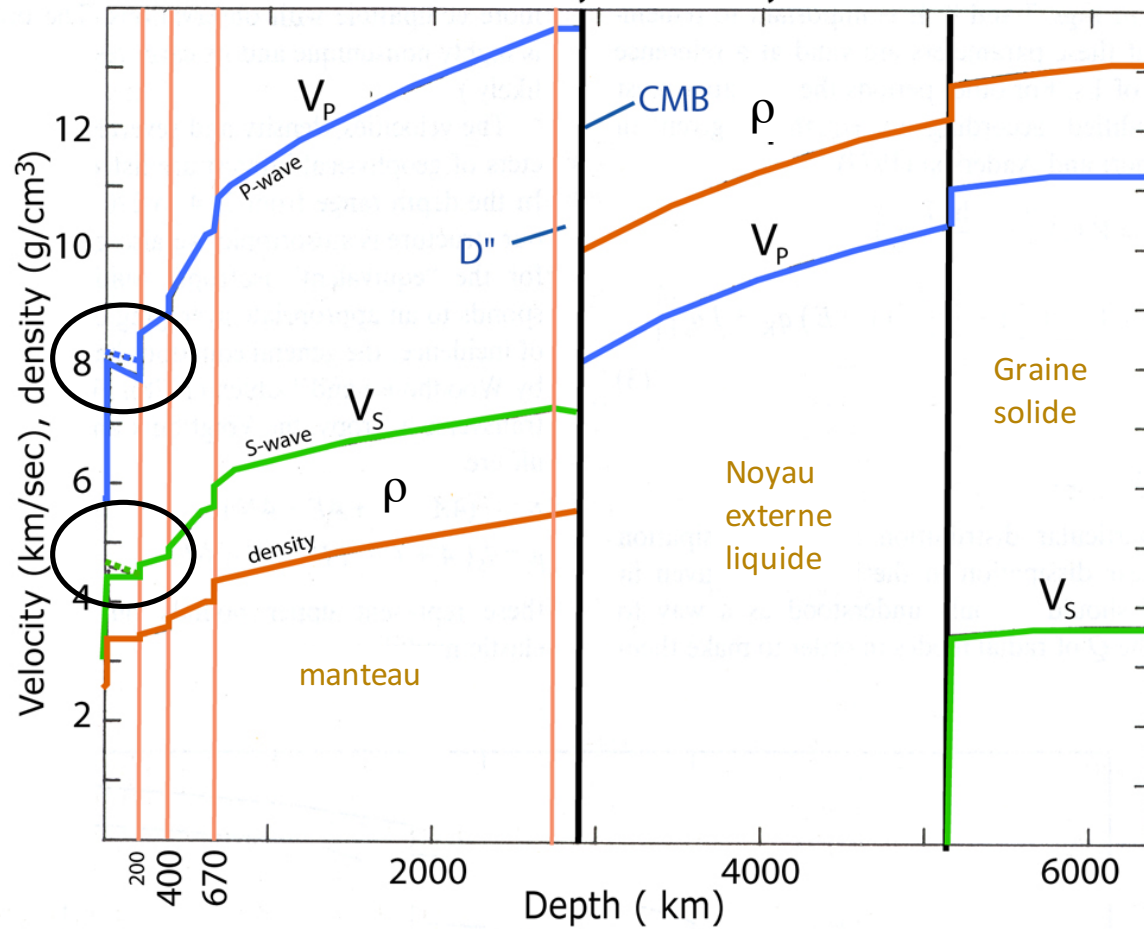
$$A = \rho V_{ph}^2$$

$$\eta = F / (A - 2L)$$

Les ondes de surface ne conduisent pas à une solution unique pour la structure du manteau supérieur mais tous les modèles nécessitent l'introduction de quelques % d'anisotropie radiale



1-D seismic velocity and density in the Earth



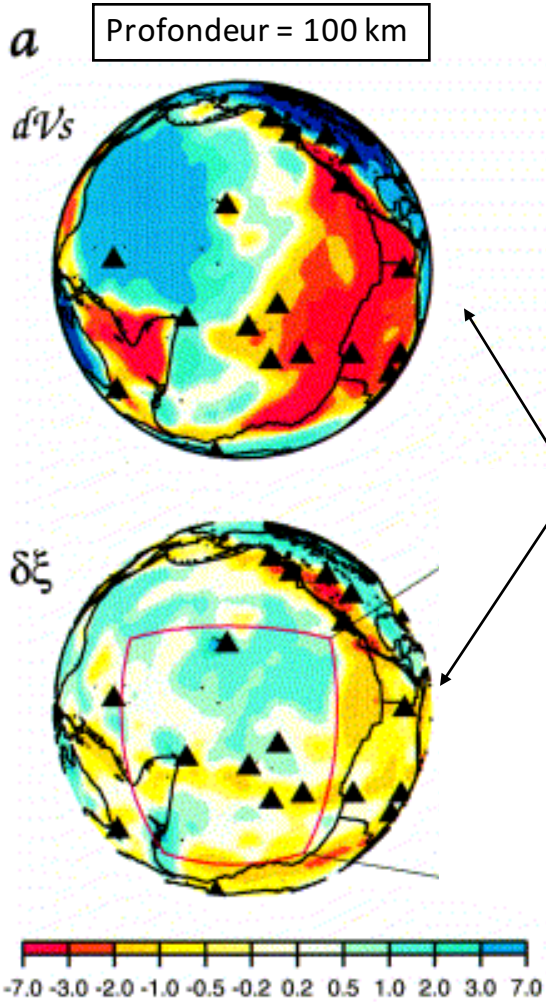
Anisotropie radiale:

$$V_{sh} \neq V_{sv}$$

Dans les premiers  
200 km du manteau  
 $V_{sh} > V_{sv}$

Modèle PREM (Dziewonski and Anderson, 1981)

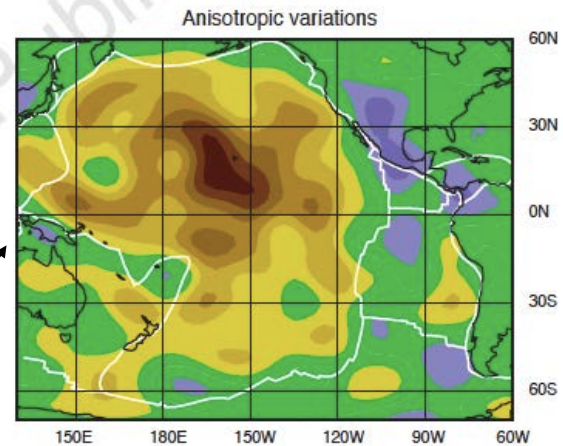
Sous les bassins  
Océaniques



$$\xi = \left( \frac{V_{SH}}{V_{SV}} \right)^2$$

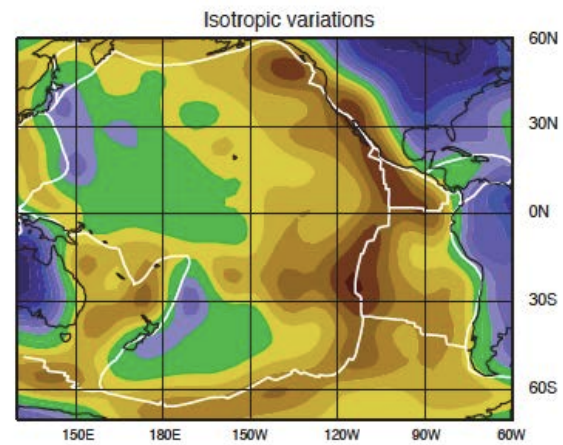
Montagner, 2002

Modèle S20 à 150 km de profondeur



Anisotropie  
radiale

$d\xi/\xi$



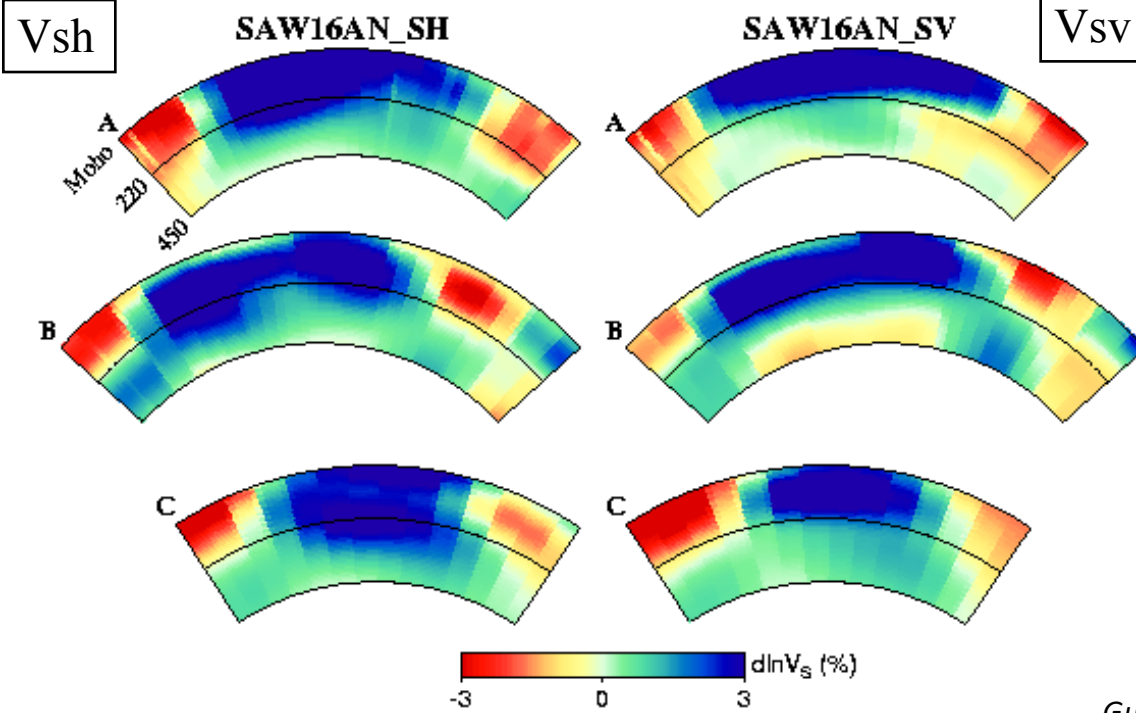
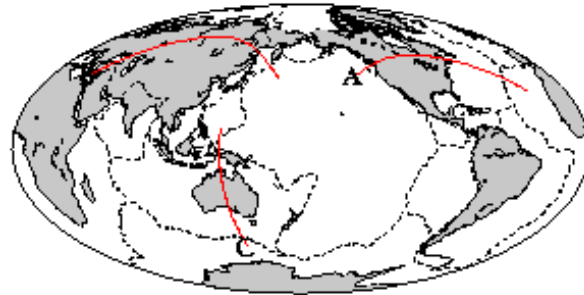
Variations de la  
Vitesse Vs isotrope

$dV_s/V_s$



Ekstrom & Dziewonski, 1998

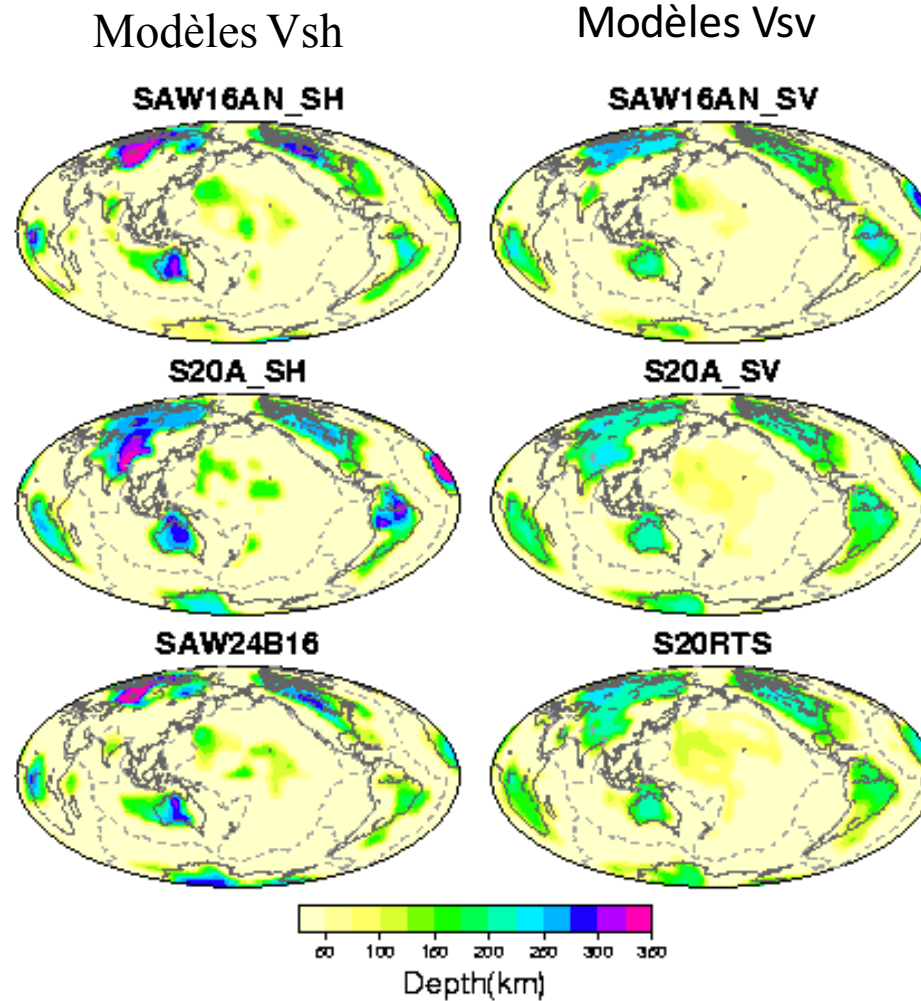
Sous les cratons



Gung et al., Nature, 2003

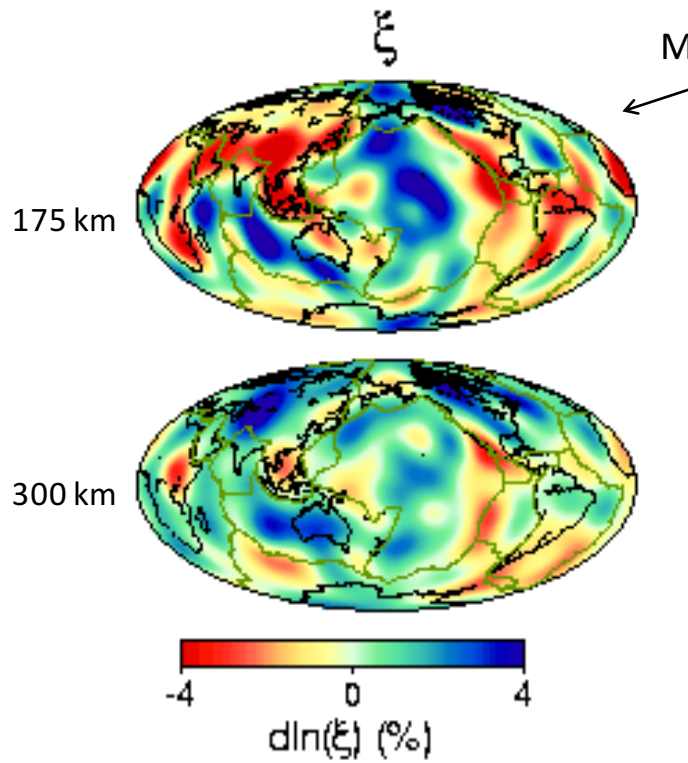
Anisotropie radiale  
sous les cratons  
continentaux

Cartes de profondeur  
maximale jusqu'à  
laquelle les racines  
des continents sont  
détectables:  
 $dV_s/V_s > 1\%$



*Gung et al., Nature, 2003*

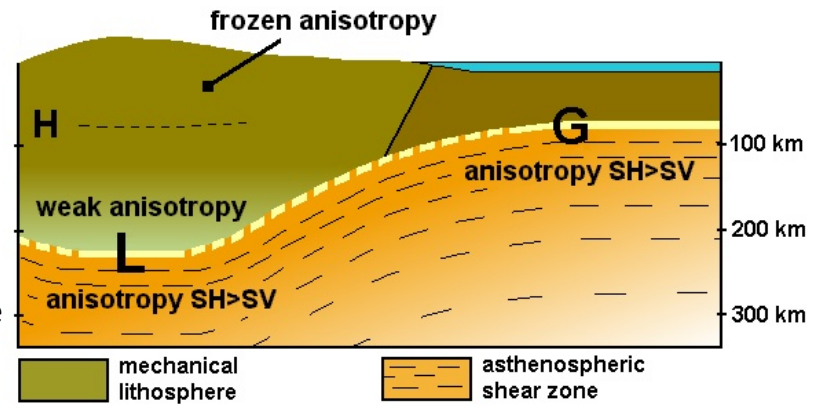
# Anisotropie radiale représentée par rapport au modèle PREM anisotrope



Moyenne en  $\xi$  de PREM soustraite

Lithosphère  
Continentale:  
Déformation  
"fossilisée"

Asthénosphère:  
Déformation active



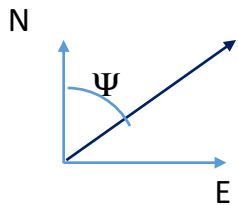
$$\xi = (V_{sh}/V_{sv})^2 \quad d\ln \xi = d\xi/\xi$$

Gung, Panning and Romanowicz., 2003

## Anisotropie sismique observée par les ondes de surface

- Anisotropie de polarisation (radiale) (A,C,F,L,N)
  - Les ondes de surface sont surtout sensibles aux variations de:
    - $L = \rho V_{sv}^2$
    - $N = \rho V_{sh}^2 \Rightarrow$  on cherche à déterminer soit  $[L,N]$  soit  $[V_s, \xi=(V_{sh}/V_{sv})^2]$
- Anisotropie azimuthale:
  - Pour un type donné d'ondes sismiques, la vitesse dépend de la direction de propagation (dans le plan horizontal pour les ondes de surface):

$$V = a + b \cos 2\psi + c \sin 2\psi + d \cos 4\psi + e \sin 4\psi$$



$\psi$  est l'azimut mesuré depuis le Nord dans le sens des aiguilles d'une montre

$a, b, c, d, e$  sont des combinaisons linéaires des paramètres élastiques  $C_{ijkl}$

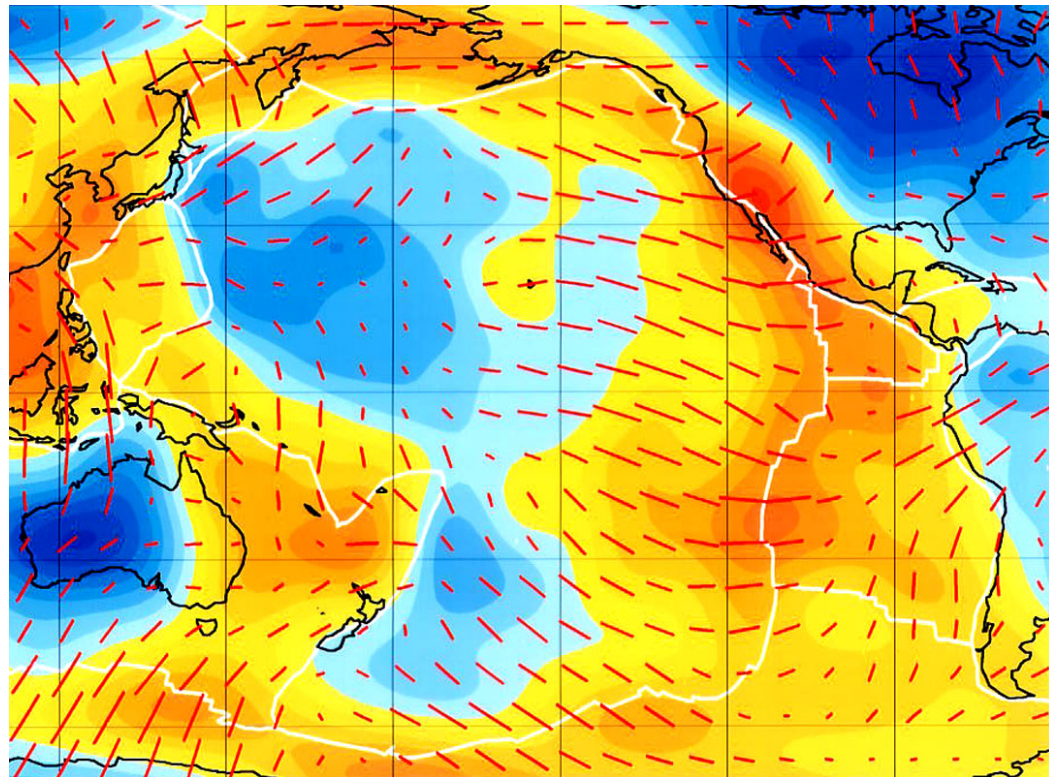
## Anisotropie azimuthale des ondes de Rayleigh

Carte de vitesses de phase  
des ondes de Rayleigh

Période : 60 s

(sensibilité max. ~ 80-100 km  
de profondeur = dans  
l'asthénosphère)

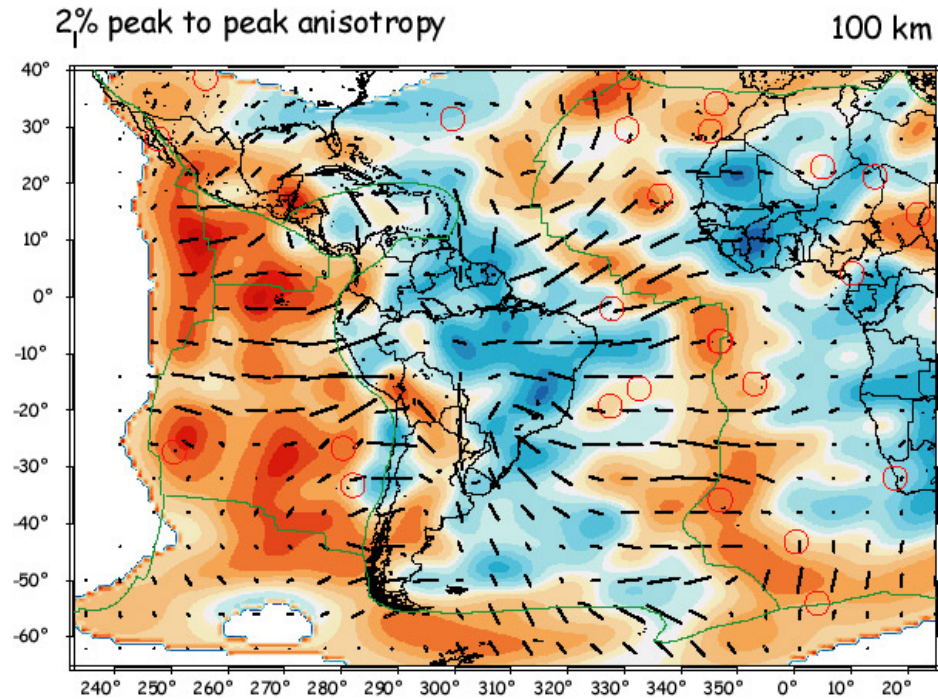
— Direction de l'axe rapide de  
l'anisotropie azimuthale  
Longueur proportionnelle à  
l'intensité de l'anisotropie  
(max ~2%)



Couleurs: variations de vitesse isotrope (rouge lentes, bleues rapides)

*D'après Ekström et al, 1997*

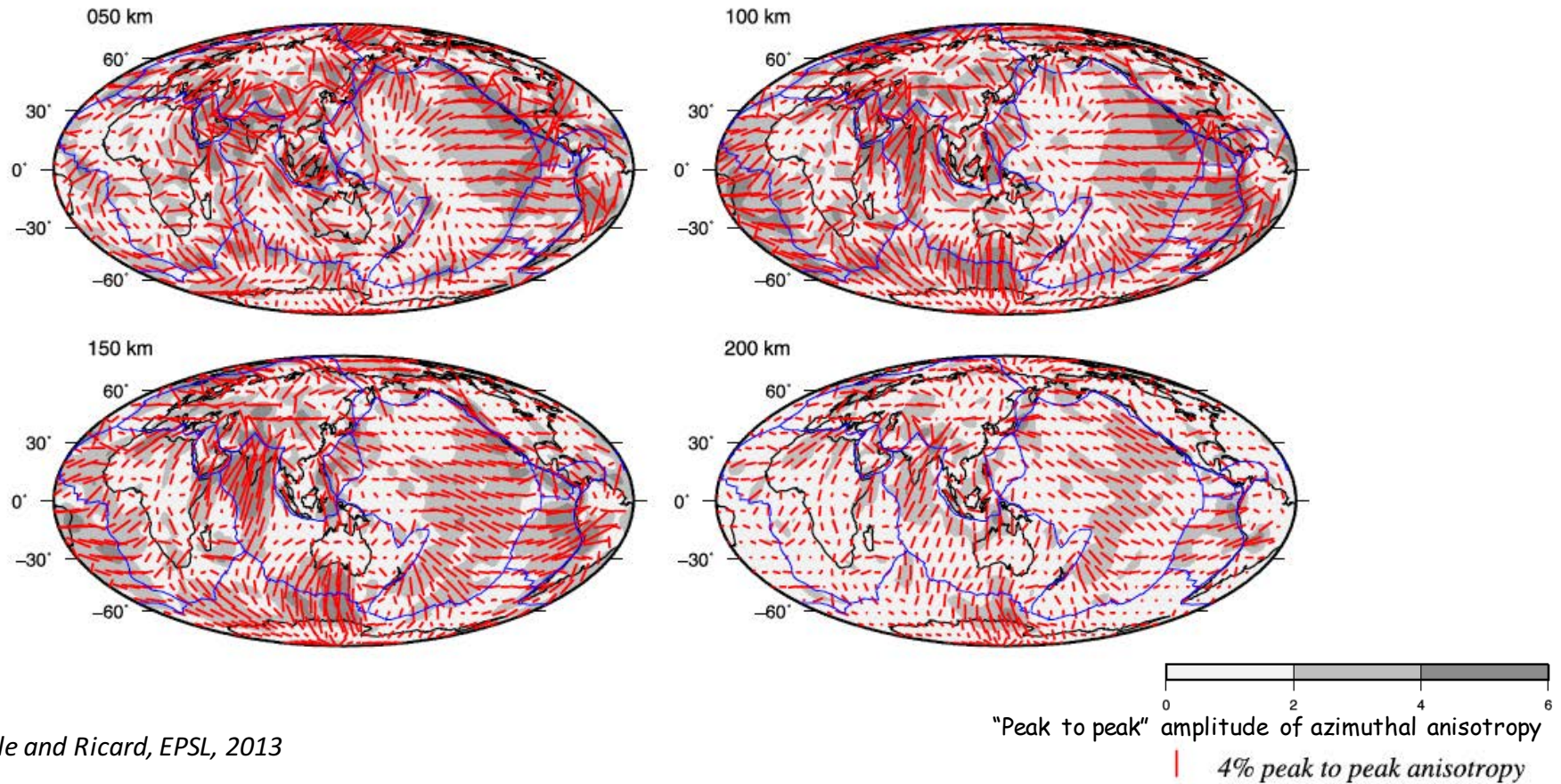
## Anisotropie azimuthale des ondes de Rayleigh



En fond: variations de la vitesse de cisaillement isotrope  
Barres: direction de l'axe rapide et intensité de l'anisotropie

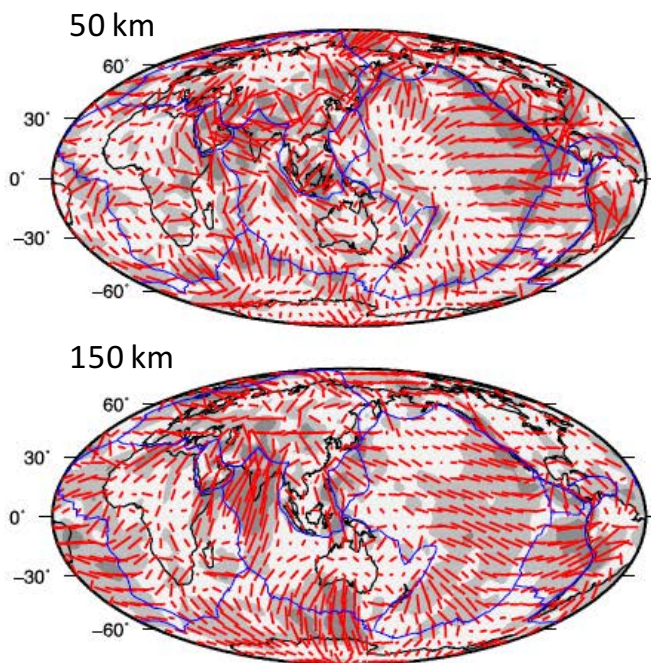
$$v(\vec{x}, \psi) = \alpha_0 + \alpha_1 \cos(2\psi) + \alpha_2 \sin(2\psi) + \alpha_3 \cos(4\psi) + \alpha_4 \sin(4\psi)$$

## Anisotropie azimuthale des ondes de Rayleigh: Inversion en profondeur



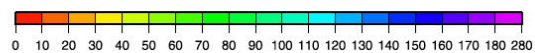
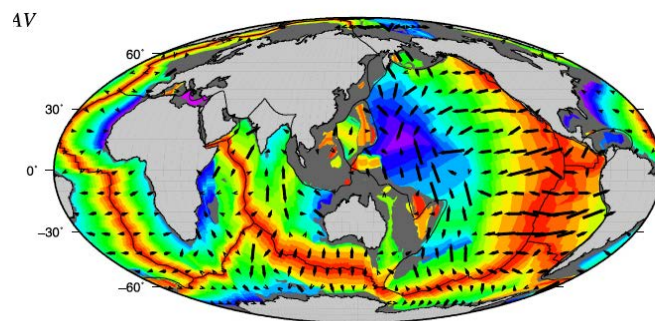
Debayle and Ricard, *EPSL*, 2013

### Anisotropie azimuthale



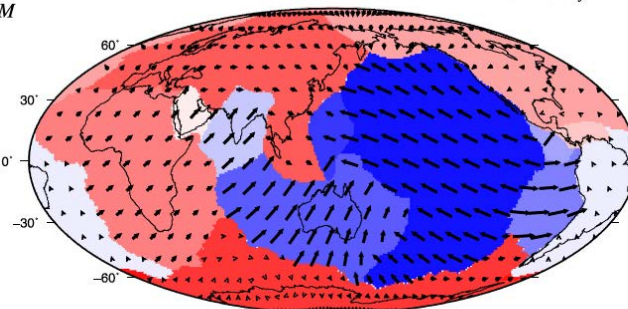
| 4% peak to peak anisotropy

### Directions absolues de plaques fossiles

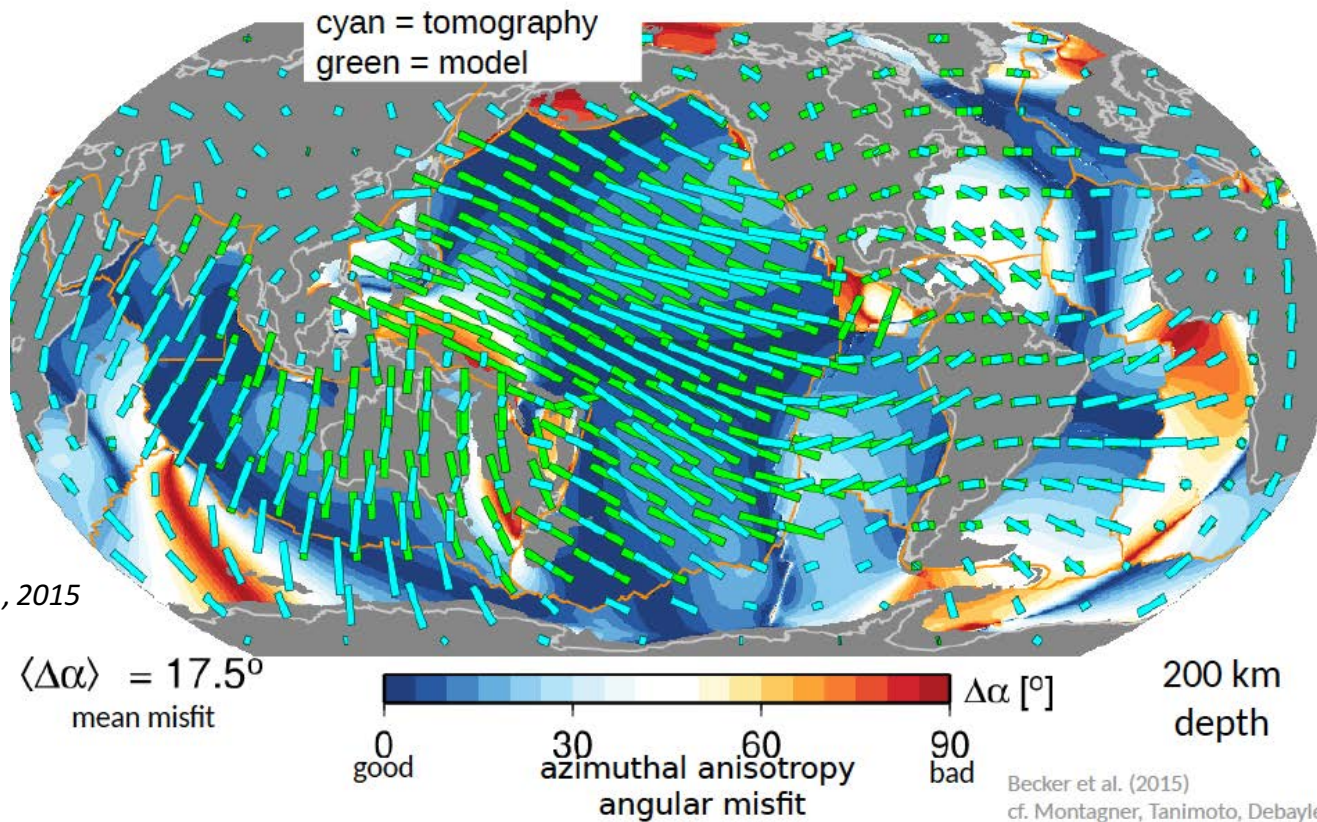


| 10 cm/yr

a) APM



### Directions absolues des plaques actuelles



L'axe rapide de l'anisotropie azimuthale observée par les ondes de surface à 200 km de profondeur coïncide presque parfaitement avec la direction de vitesse absolue des plaques lithosphériques dans les bassins océaniques

Profondeur de la limite lithosphère-asthénosphère (LAB) mesurée par différents paramètres à partir des ondes de surface

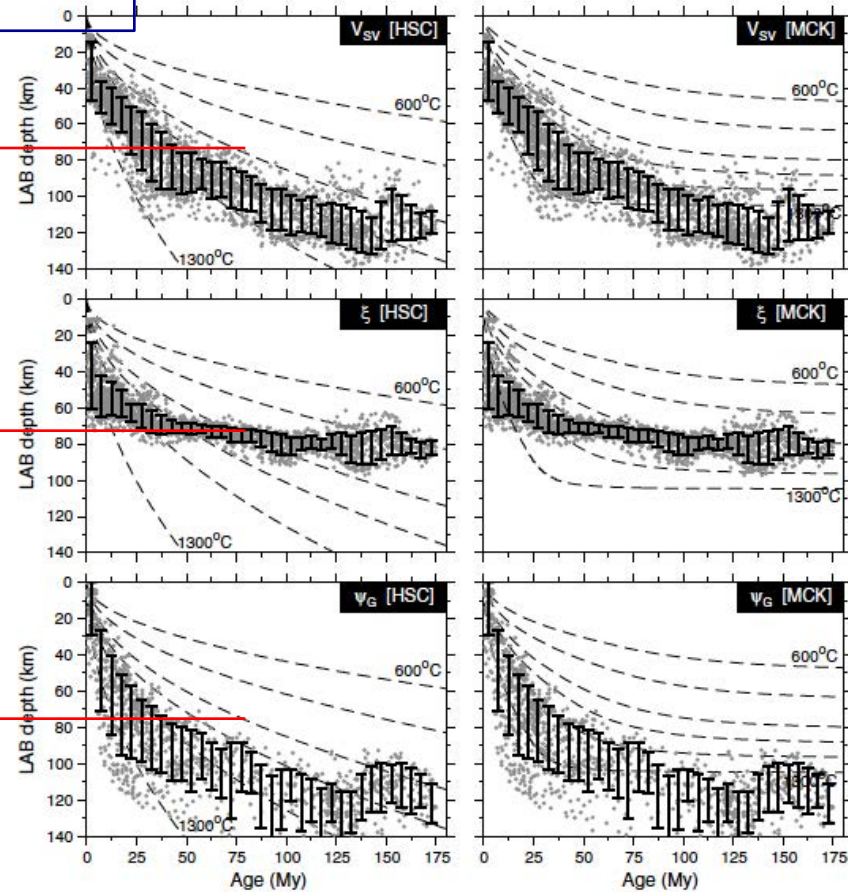
Océan Pacifique

Anisotropie de polarisation

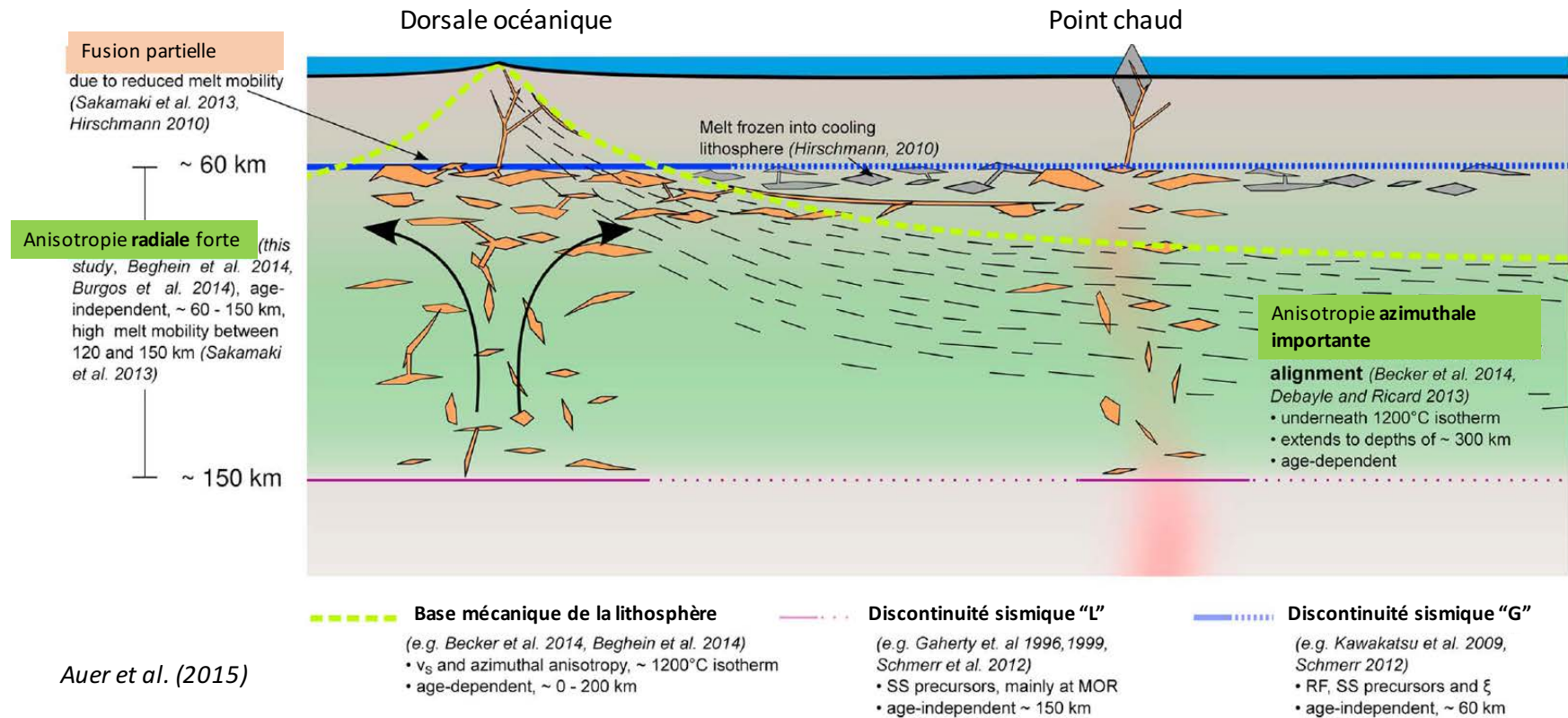
$$\sigma = \left( \frac{V_{SH}}{V_{SV}} \right)^2$$

Anisotropie azimutale

$\Psi_G$

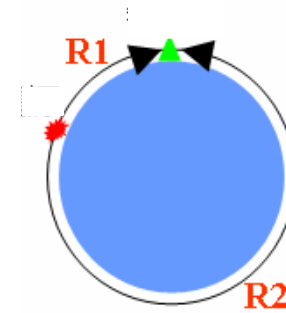


## Modèle conceptuel du système lithosphère-asthénosphère sous les océans



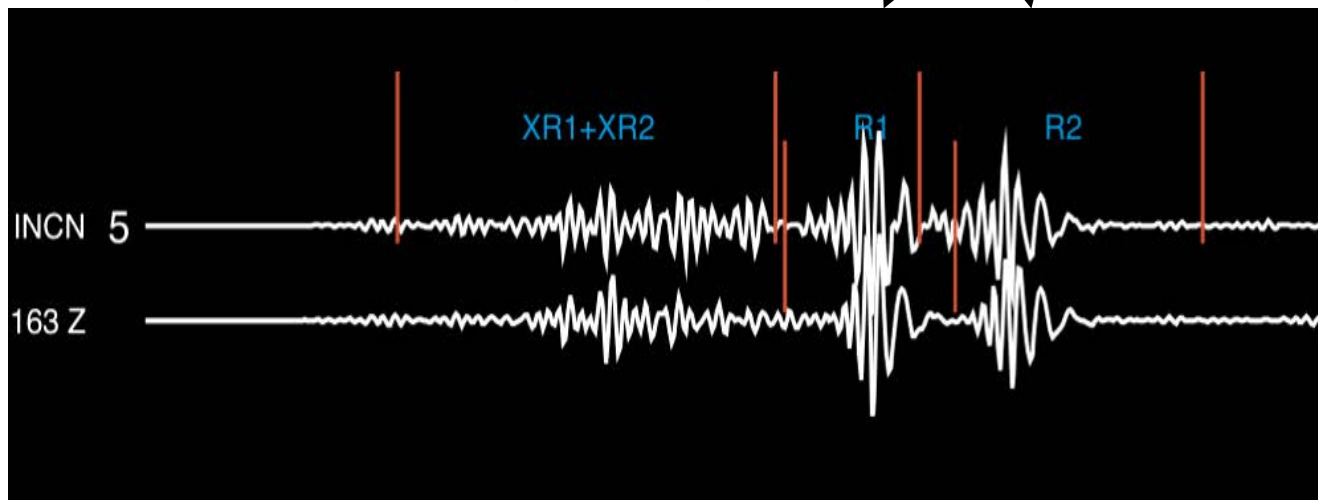
cf. Burgos et al. (2013), Beghein et al. (2014)

# Modes harmoniques des ondes de surface



Harmoniques

Mode fondamental



Observé

Calculé

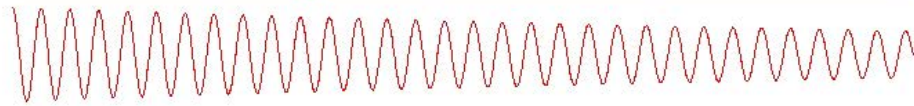
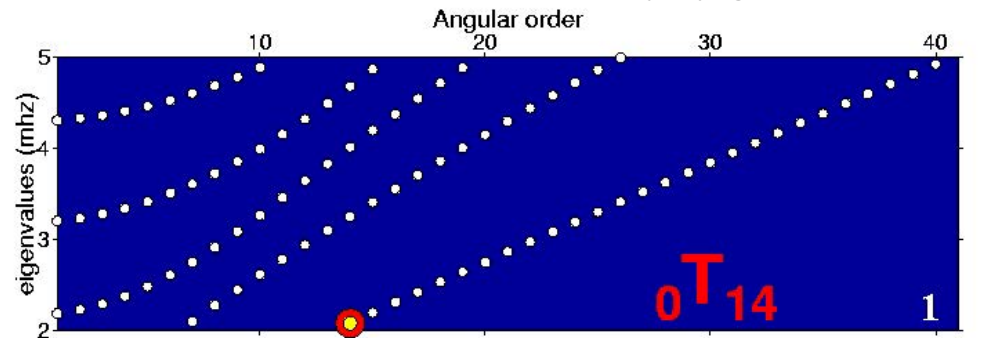
Sismogrammes filtrés  
aux périodes  $\geq 60$  s

Composante verticale distance  $\sim 15,000$  km filtré aux périodes  $> 60$  s

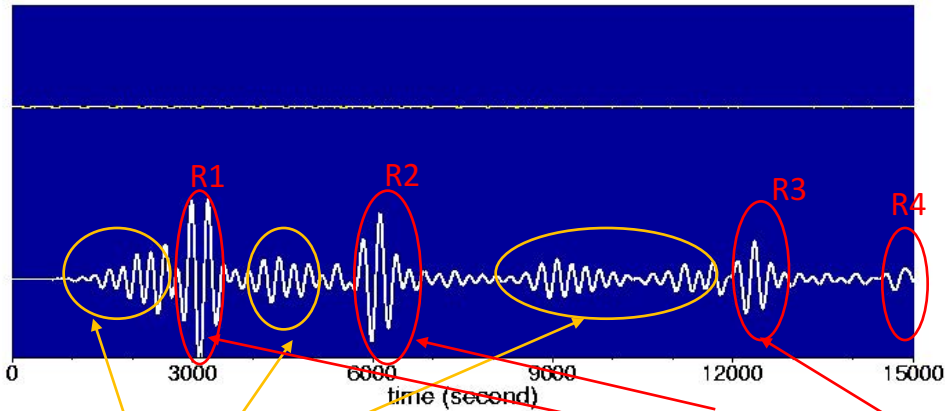
Modes propres de la terre: stationnaires dans l'espace, oscillation dans le temps



Formés par interférence d'ondes de surface qui se propagent autour de la terre

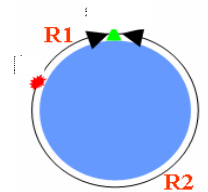


Somme sur les modes successifs



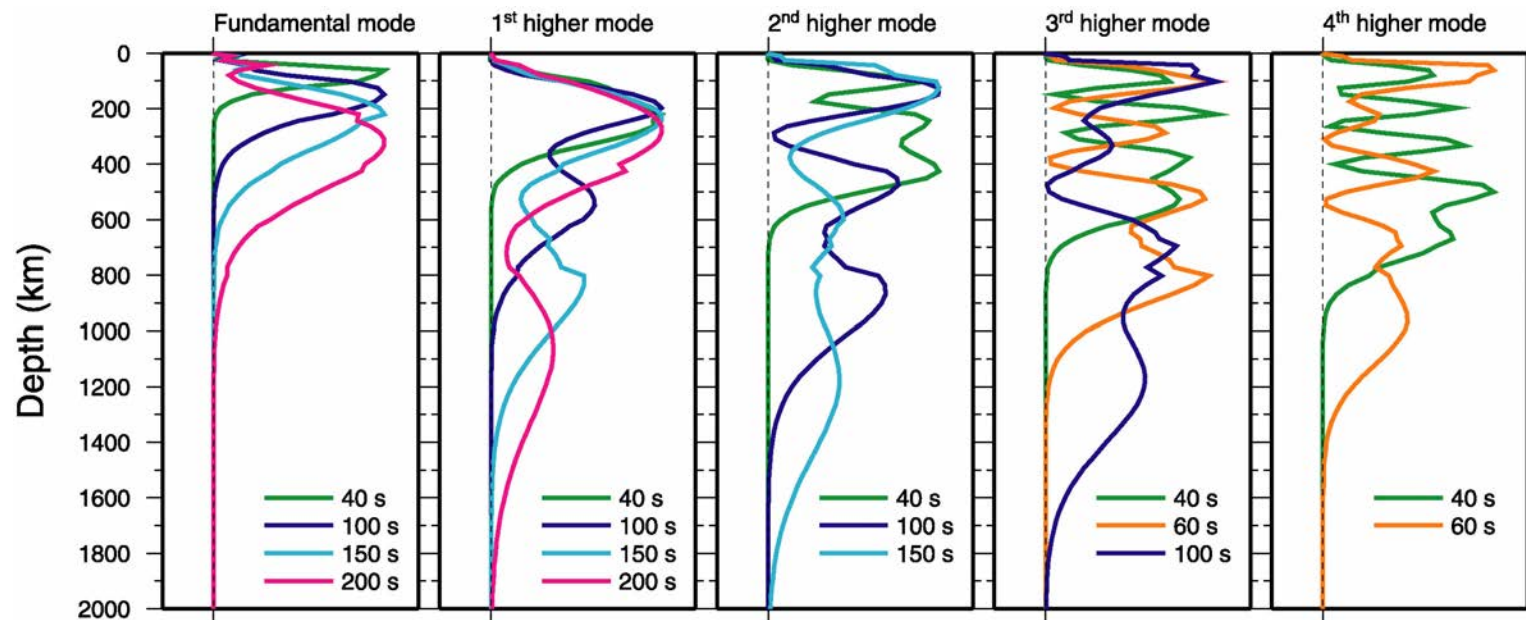
Sismogramme "longue période" complet

Harmoniques



Modes harmoniques des ondes de surface: Sensibilité à la structure en Vs en fonction de la profondeur

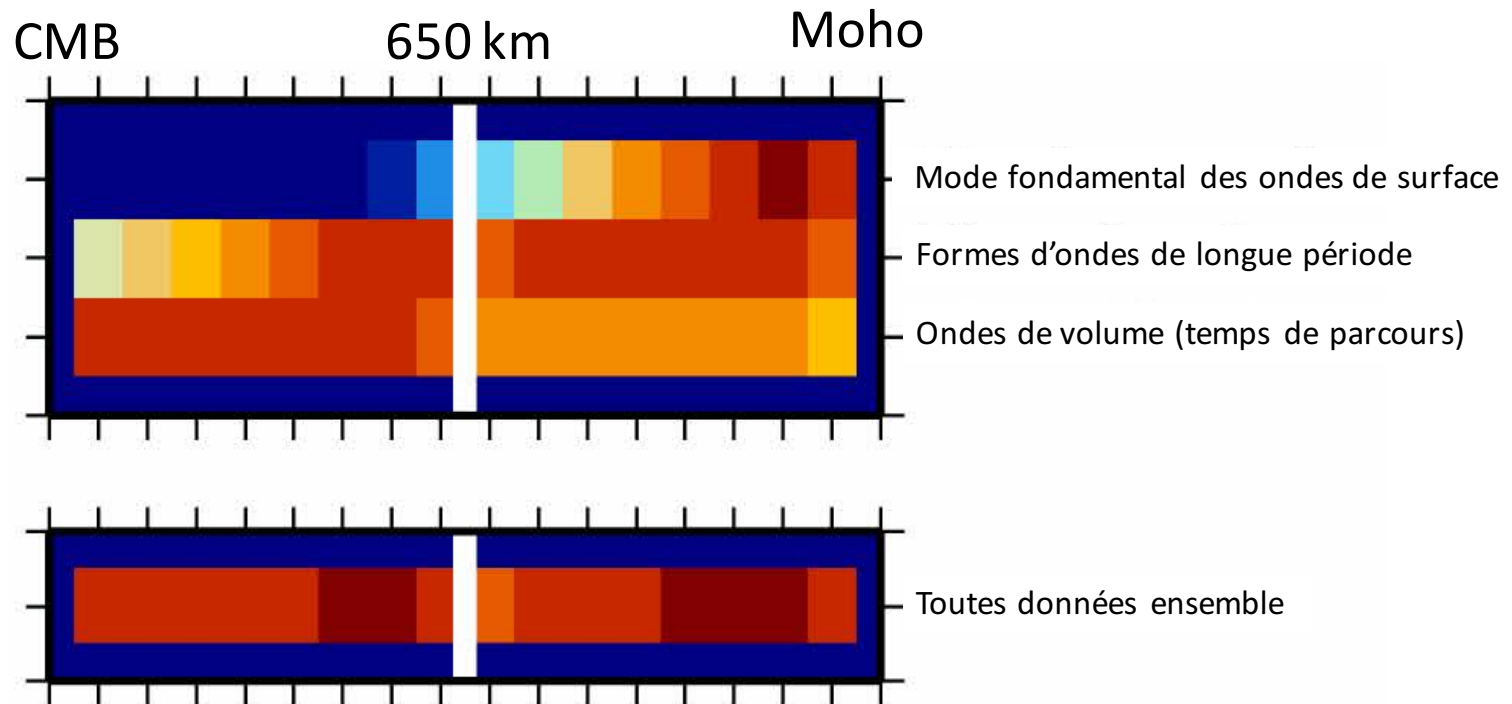
(Harmoniques des ondes de Rayleigh)



En incluant les harmoniques des ondes de surface on peut pénétrer jusque dans la zone de transition et le haut du manteau inférieur

Figure d'après Ritsema et al, 2004

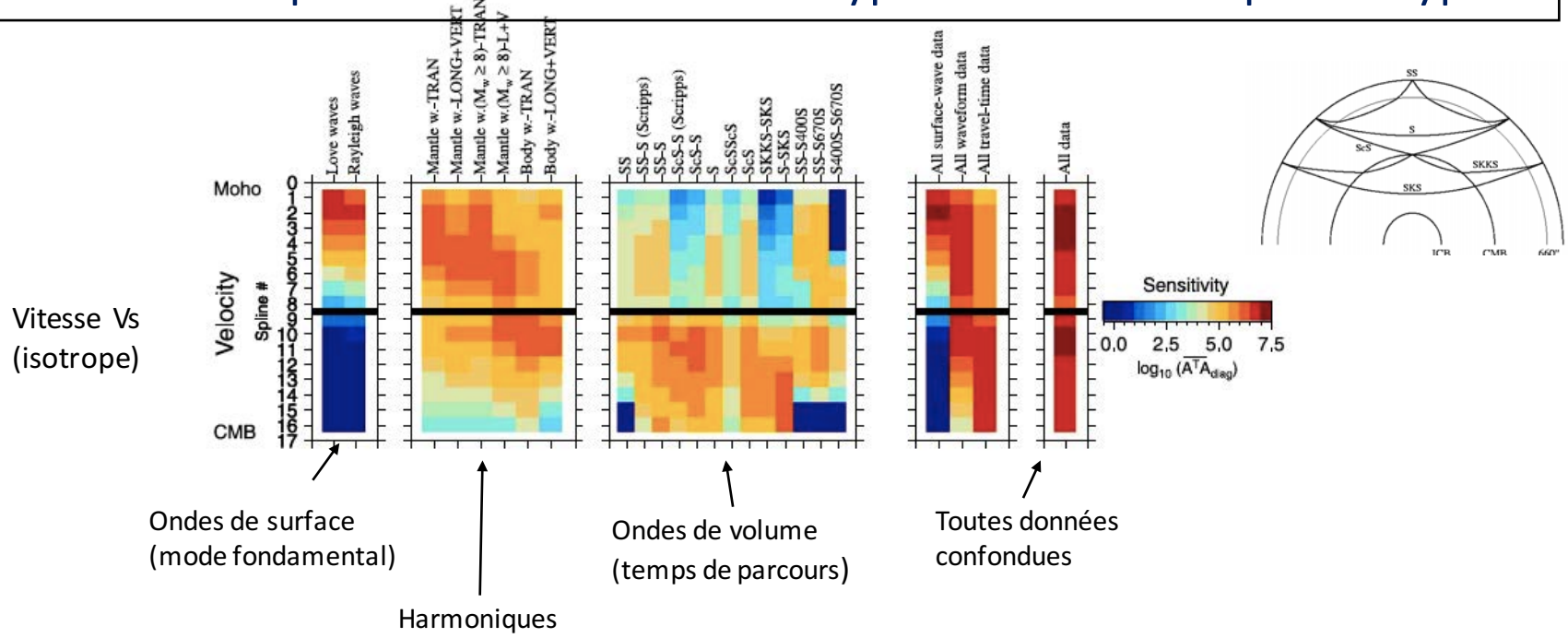
## Sensibilité en profondeur à la vitesse $V_s$ des différents types d'ondes sismiques "de type S"



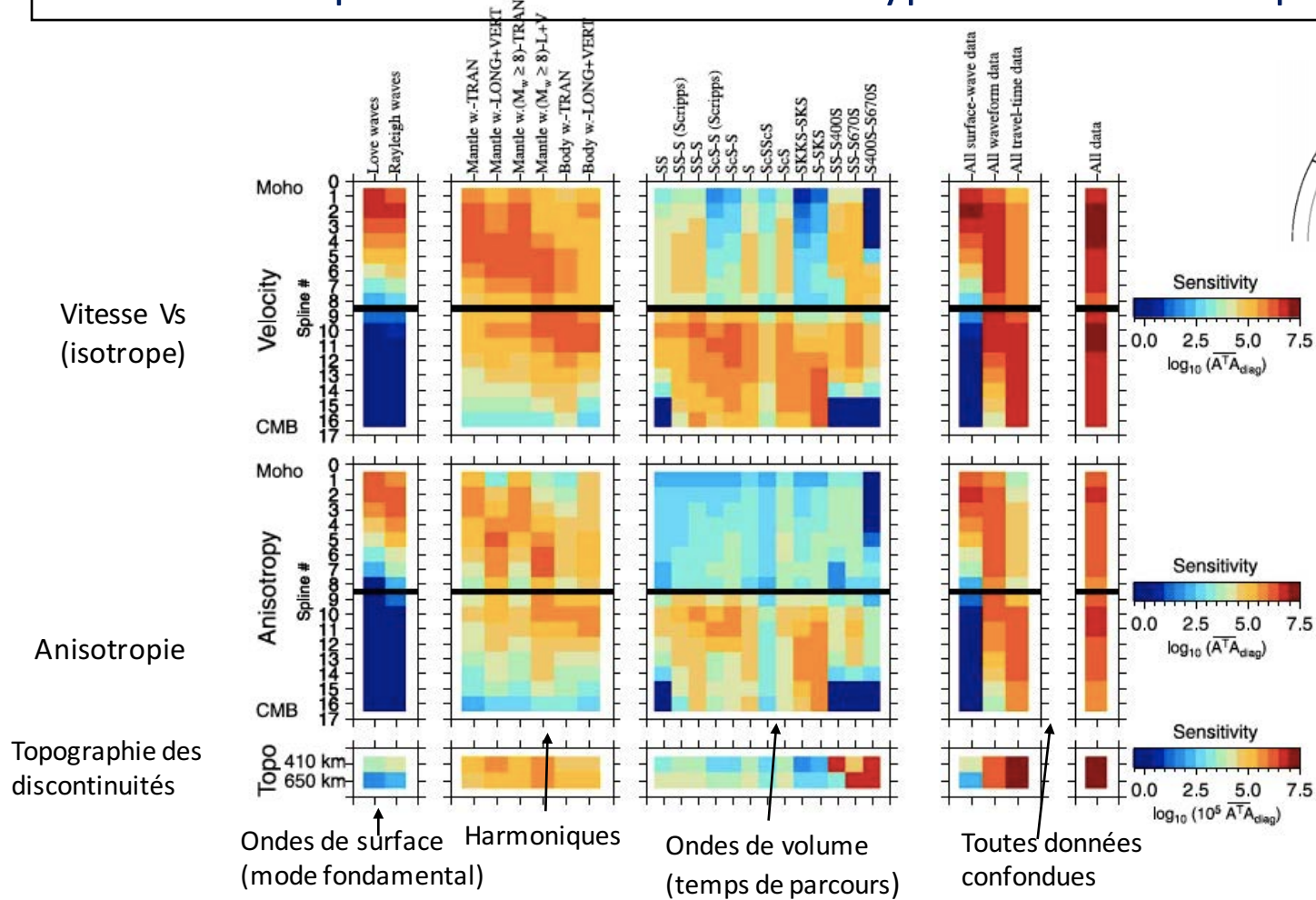
*Du bleu au rouge -> sensibilité faible à forte*

*D'après Kustowski et al., 2008*

# Sensibilité en profondeur des différents types d'ondes sismiques de type S

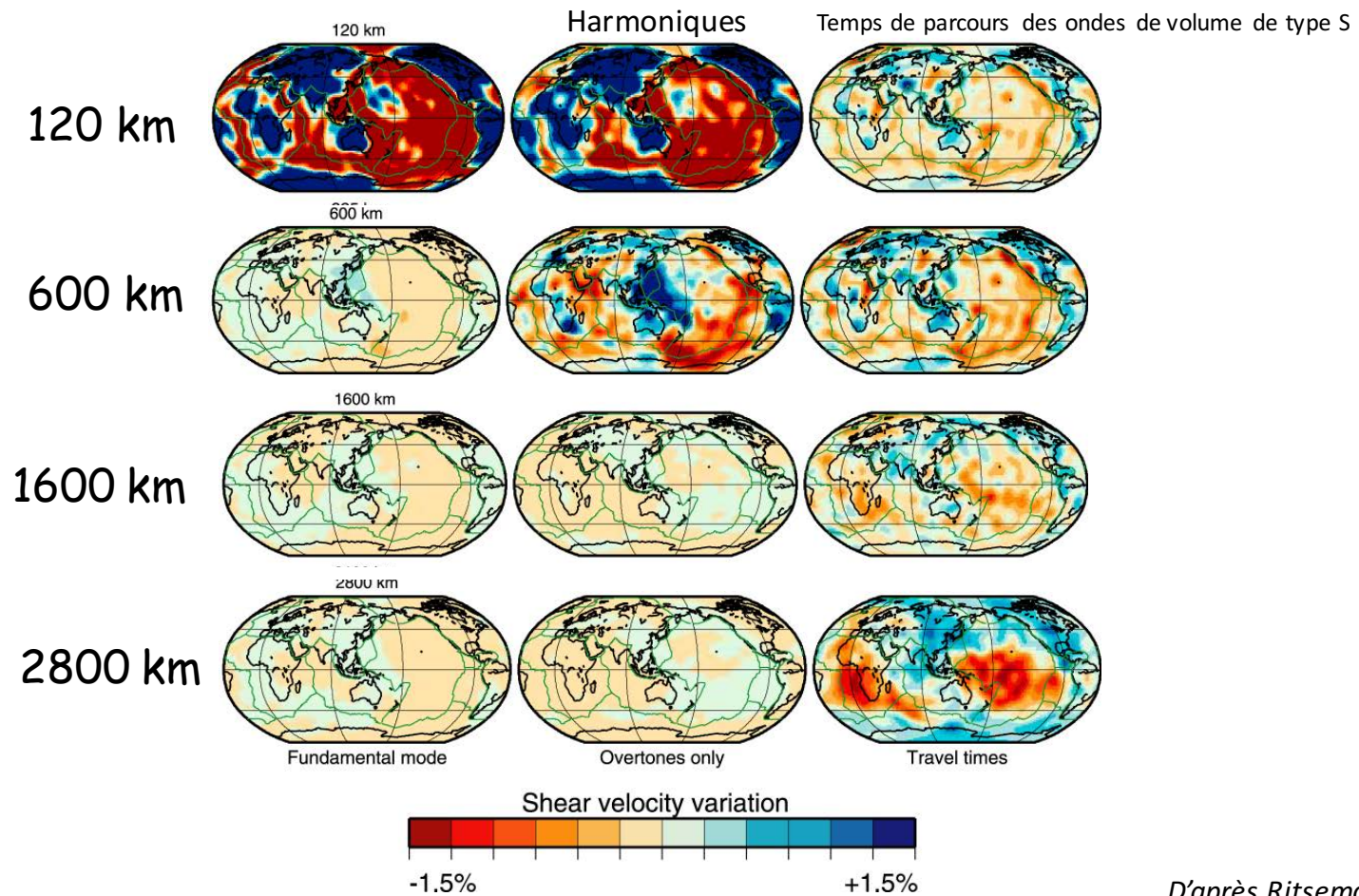


# Sensibilité en profondeur des différents types d'ondes sismiques de type S



Kustowski et al., 2008

## Modèles $V_{sv}$ à partir de différents sous ensembles de données



*D'après Ritsema et al., 2004*

# Exemple de modèle global du manteau "classique": S40RTS (Ritsema et al., 2011)

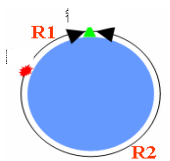
Ondes de Rayleigh -> modèle "SV", sans anisotropie

Scaling ;  $\frac{\delta \ln \rho}{\delta \ln V_s} = -0.55$ ;  $\frac{\delta \ln V_p}{\delta \ln V_s} = 2 \rightarrow 3$

Paramétrisation: latérale: harmoniques sphériques  $l_{max} = 40$ ; verticale: B-splines.  
 Corrections crustales: basées sur le modèle Crust2.0 (Bassin et al., 2000)

**Table 1.** Phase velocity measurements (misfit at  $T = 62$  s).

Branch	Minor arcs (R1)			Major arcs (R2)		
	Period (s)	Number	Misfit	Period (s)	Number	Misfit
Fund. mode	275-40	18,304,840	0.07	275-40	2 469 534	0.09
1st overtone	235-40	988,459	0.21	200-69	511 013	0.66
2nd overtone	114-40	909,654	0.20	131-62	638 492	0.40
3rd overtone	100-43	844,067	0.38	69-51	498 594	0.52
4th overtone	62-40	817,414	0.31	56-46	633 791	-

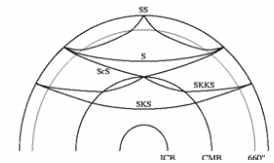


**Table 2.** Traveltime measurements.

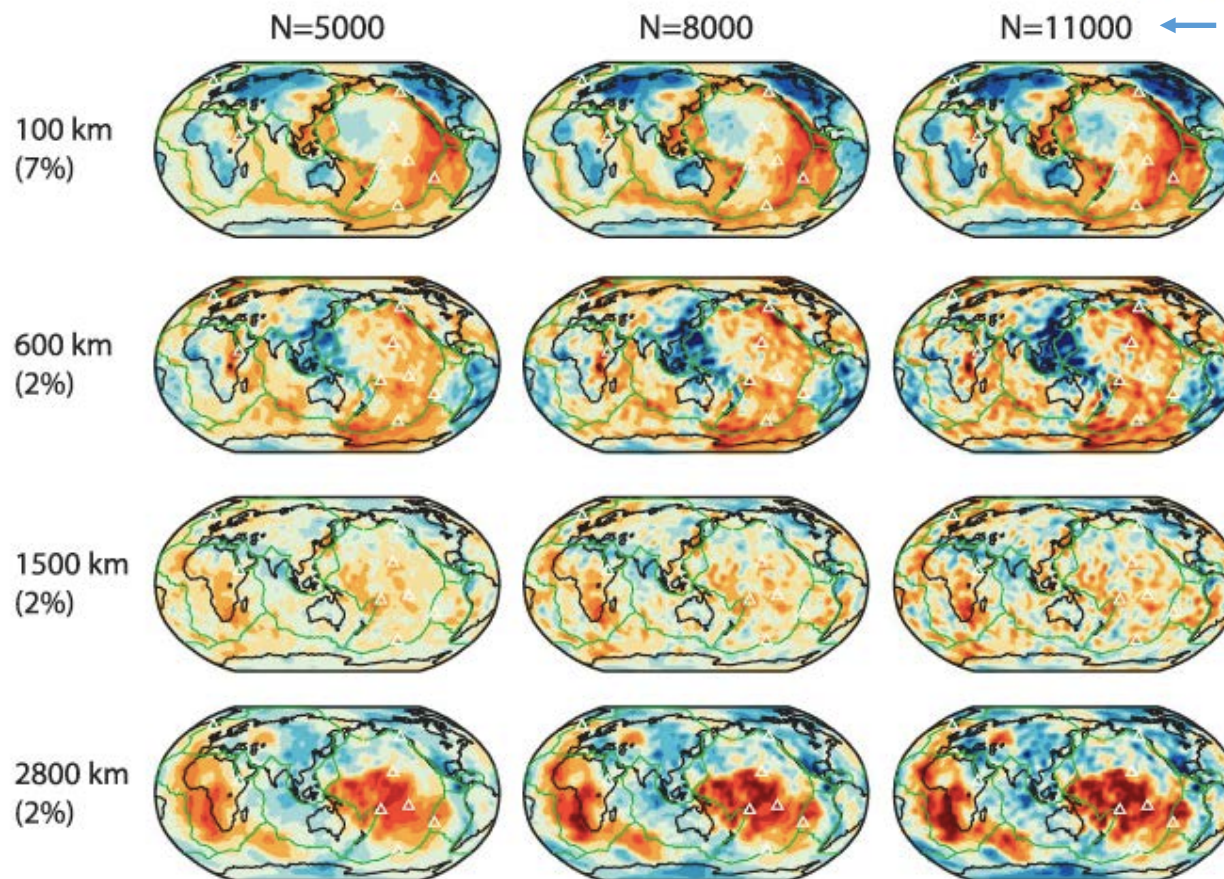
Phase	Number	Misfit
$S, S_{diff}$	194 488	0.23
$SS$	125 068	0.16
$SSS$	28 288	0.17
$SKS$	35 267	0.47
$SKKS$	9 183	0.51
$ScS, sScS$	10 329	0.34
$ScS_2, ScS_3, ScS_4$	28 200	0.21
$SS_m, SSS_m, SSSS_m$	28 690	0.25

**Table 3.** Splitting function measurements.

Modes	# spectra	Misfit
$0S_3-0S_{21}$	30 544	0.13
$1S_2-1S_{10}, 1S_{14}$	11 731	0.16
$2S_4-2S_{13}$	19 404	0.08
$3S_6-3S_9$	6 812	0.17
$4S_1-4S_5$	9 700	0.16
$5S_3-5S_6$	5 849	0.23

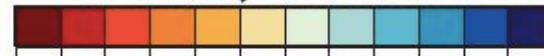


Modèle S4ORTS



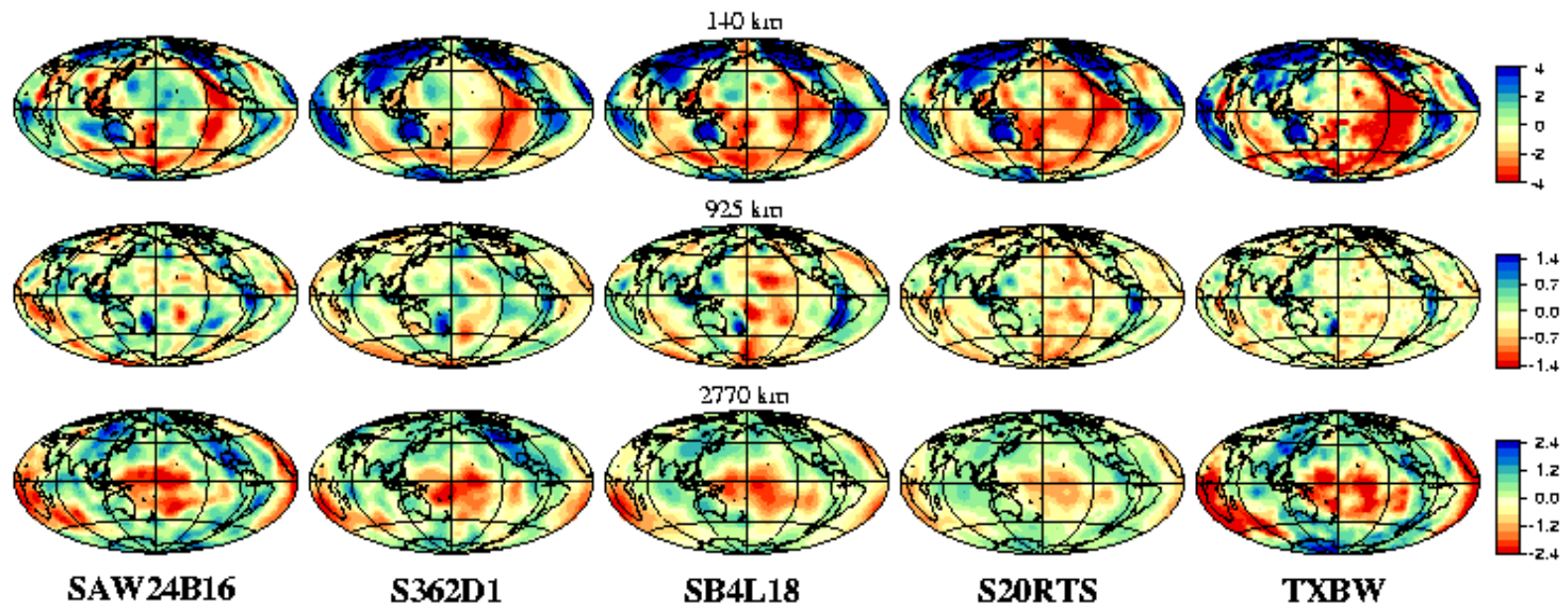
Régularisations  
différentes

shear velocity variation from 1-D

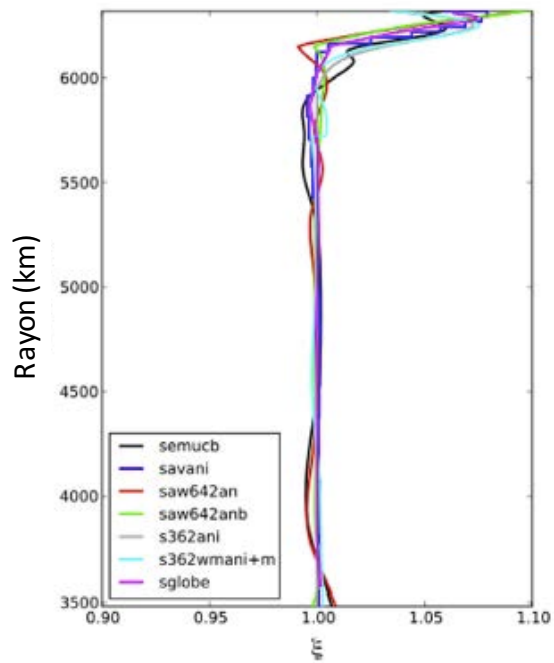


Ritsema et al., 2011

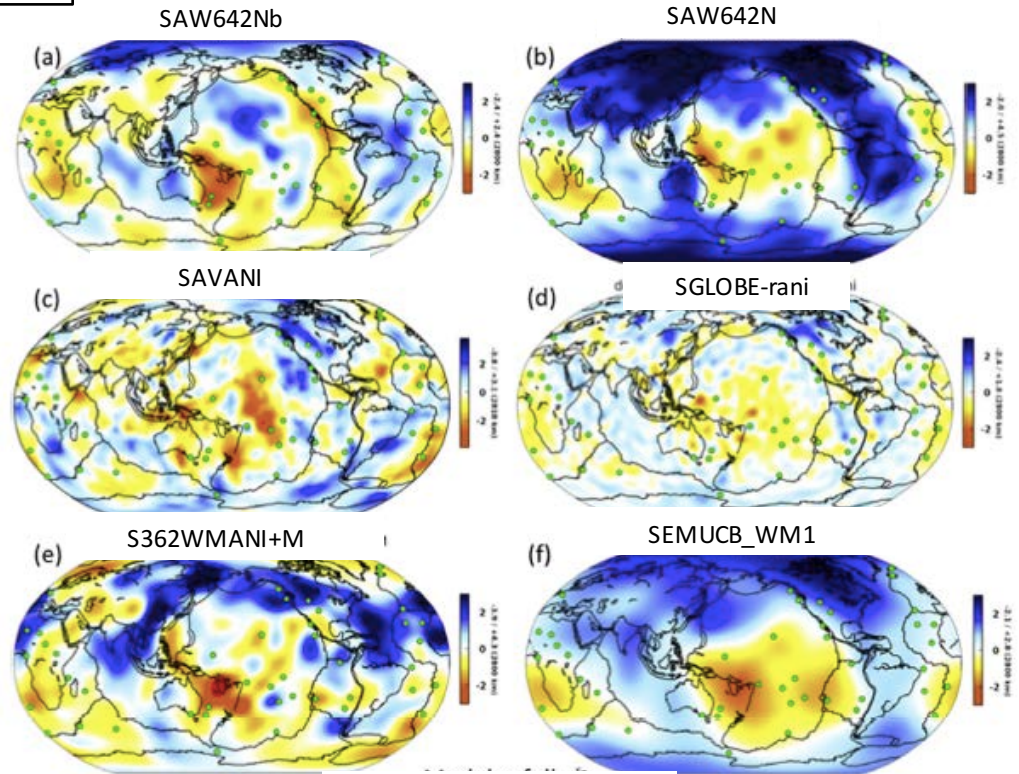
## Modèles tomographiques Vs "de grande longueur d'onde



Profil moyen en fonction de la profondeur du paramètre d'anisotropie radiale  $\xi$

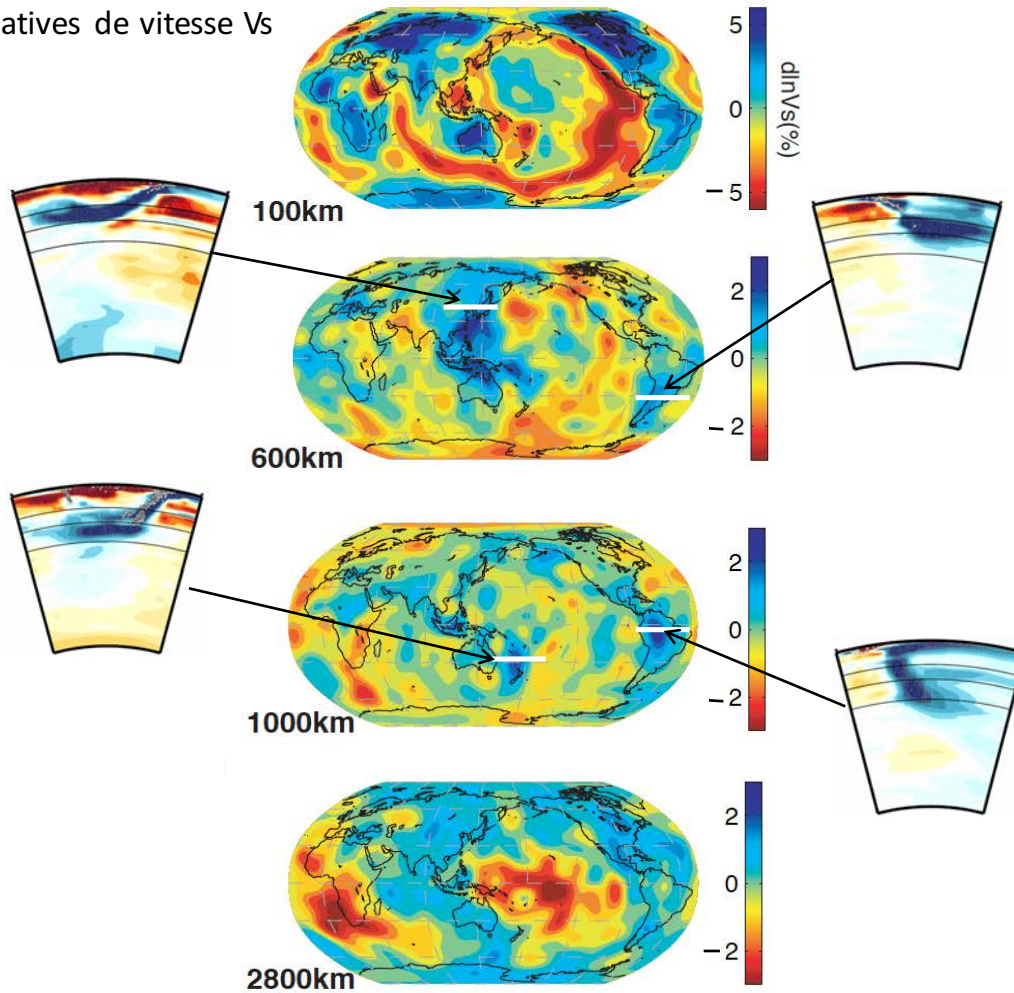


Modèles 3D d'anisotropie radiale:  $d\xi/\xi$  à la base du manteau

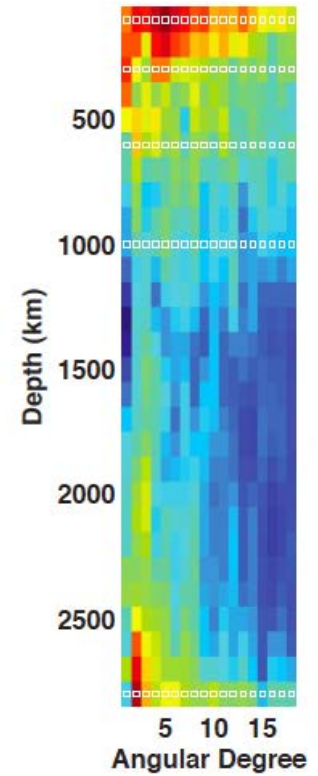


Profondeur = 2800 km

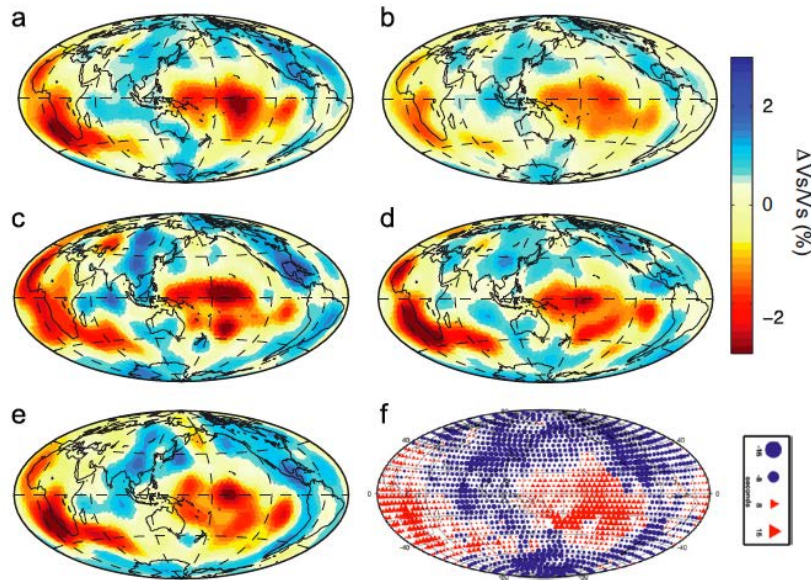
# Anomalies relatives de vitesse Vs



# Spectre des hétérogénéités du manteau en fonction de la profondeur



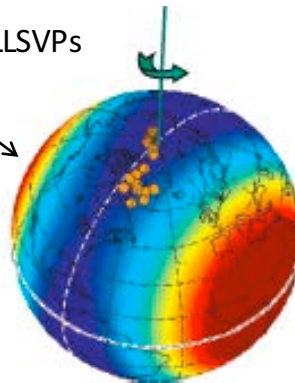
modèle Vs: S362ANI, Kustowski et al. (2008)



Vitesse  $V_s$   
 Profondeur = 2800 km

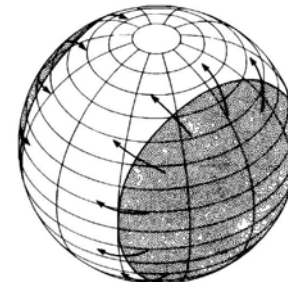
“LLSVP”  
 “Superplumes”

LLSVPs

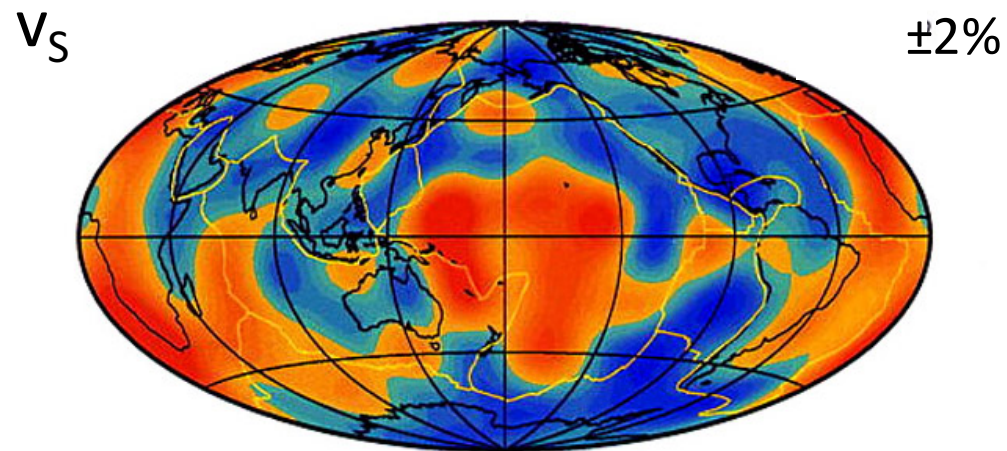


● Paleo-poles de rotation (Besse and Courtillot, 2002)

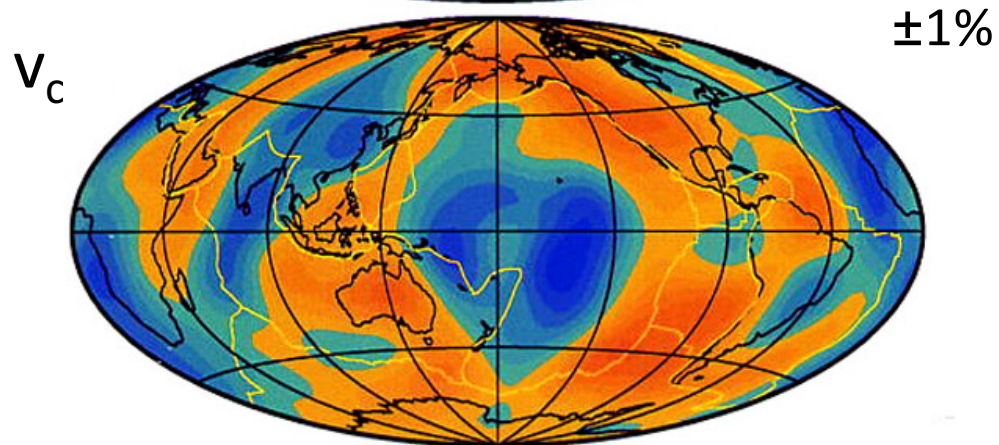
Convection “de degré 2” dans une sphère,  
 Busse (1983)



## Vs et Vc à la profondeur de 2800 km



$$V_S = \sqrt{\frac{\mu}{\rho}}$$

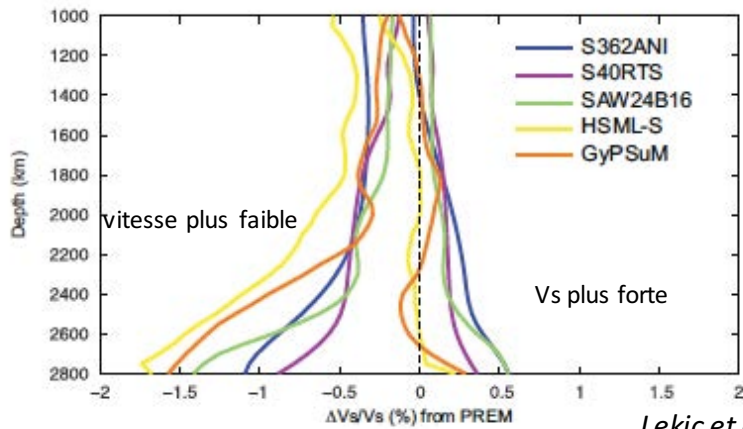
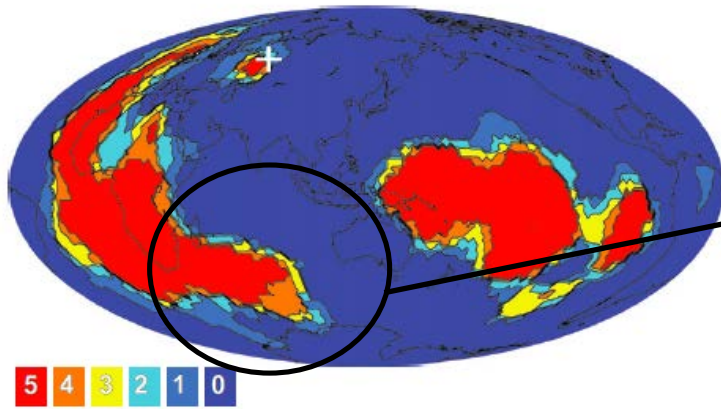


$$V_c = \sqrt{\frac{\kappa}{\rho}}$$

$$V_C^2 = V_P^2 - \frac{4}{3} V_S^2$$

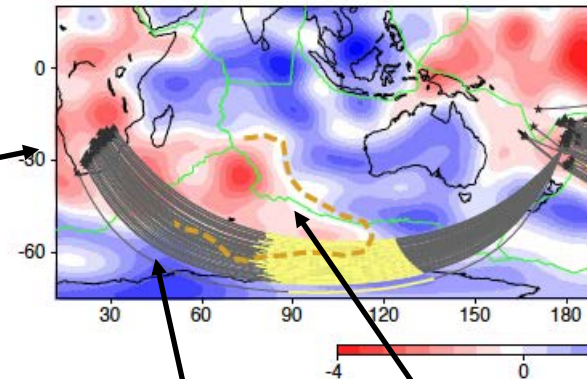
*Su and Dziewonski, 1997*

Comparaison de 5 modèles tomographiques  
Profondeur: 2800 km



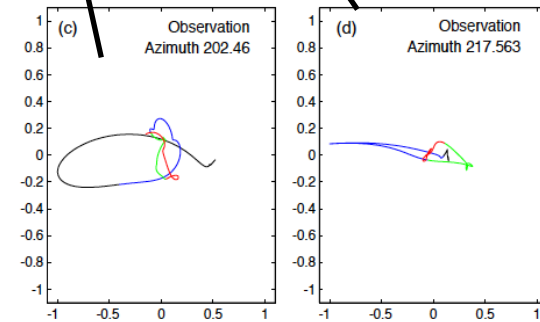
Lekic et al, 2012, EPSL

Mouvement des particules ondes Sdiff



A l'extérieur de la LLSVP

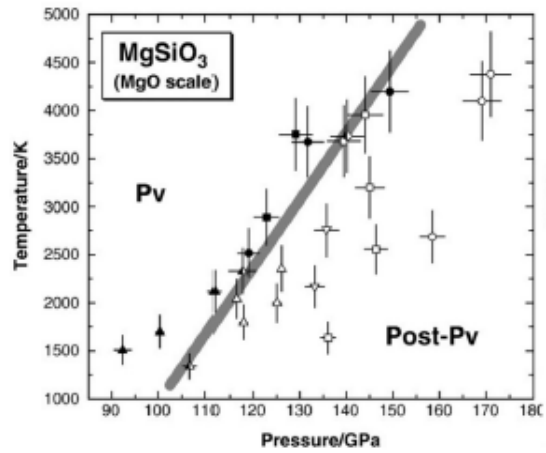
A l'intérieur de la LLSVP



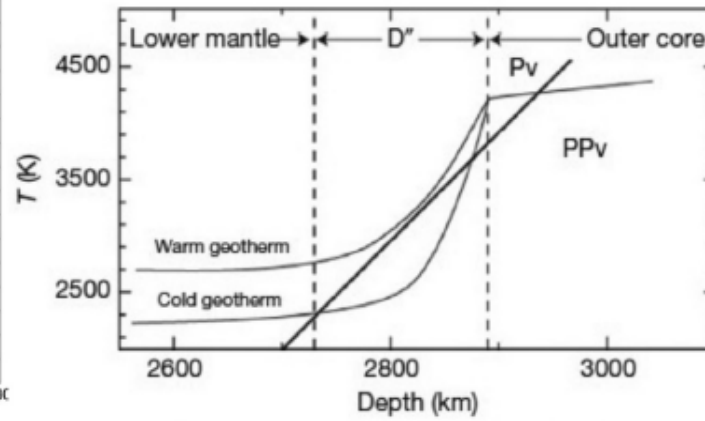
**=> Anisotropie à l'extérieur des LLSVPs**

To, Capdeville et al., 2005

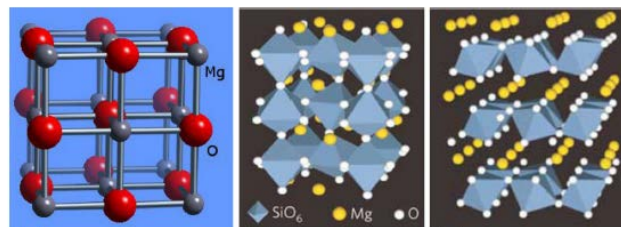
Transition de phase: perovskite (bridgmanite) -> post-perovskite  
 présence possible dans les zones "froides" à la base du manteau



Murakami et al. (2004)



Hernlund et al., 2005



(a)

MgO

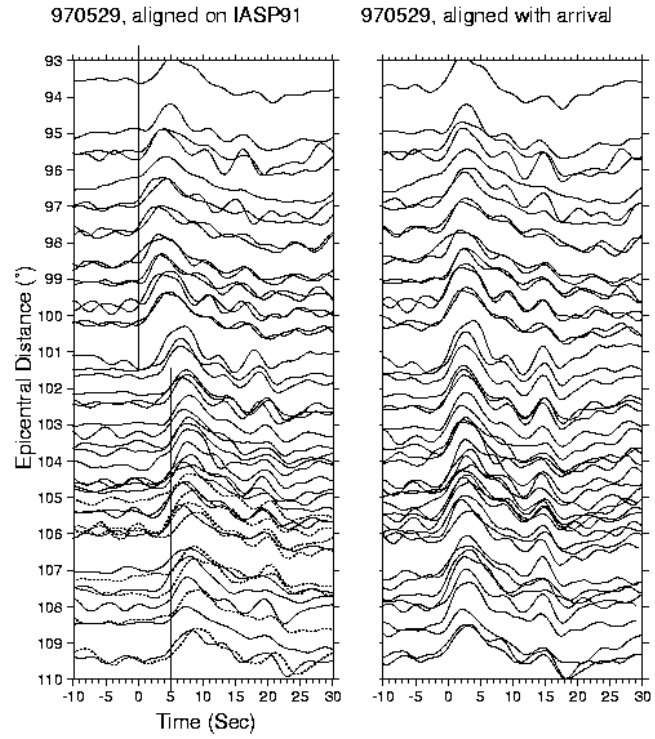
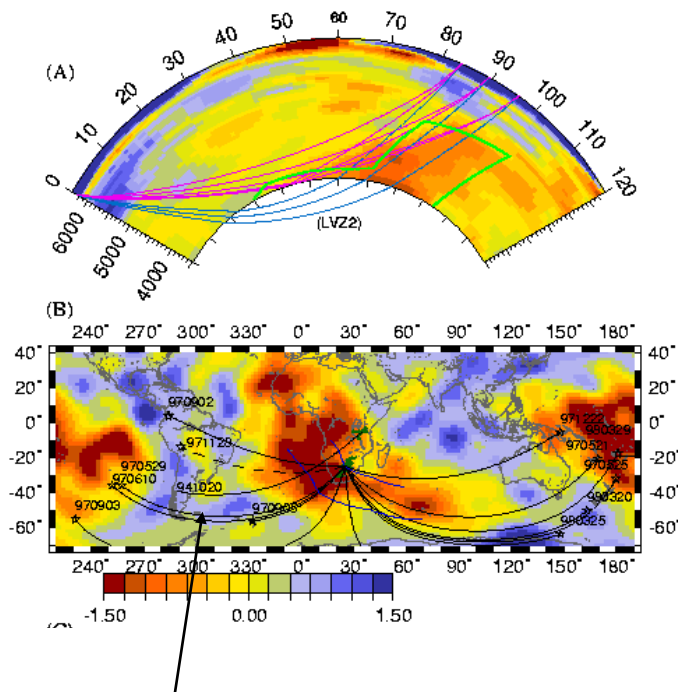
(b)

bridgmanite

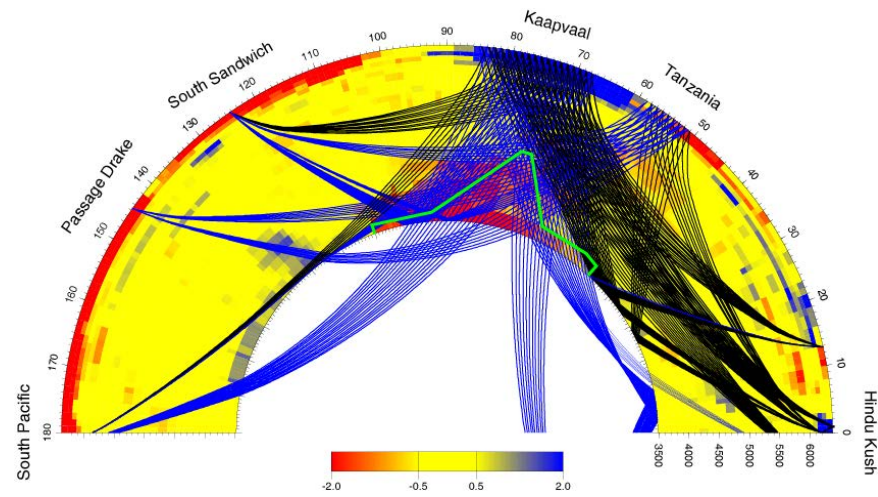
(c)

pPv

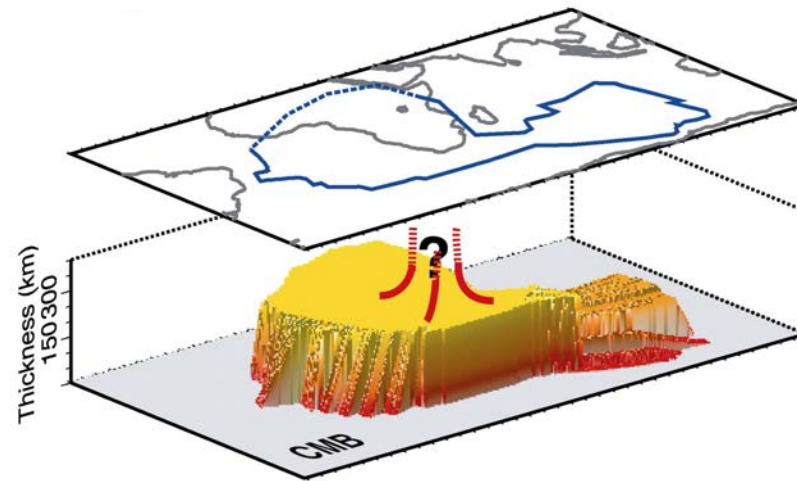
# Transition "abrupte" au bord de la LLSVP africaine



Ondes S et Sdiff



Une certaine vision de la LLSVP sous l'Afrique

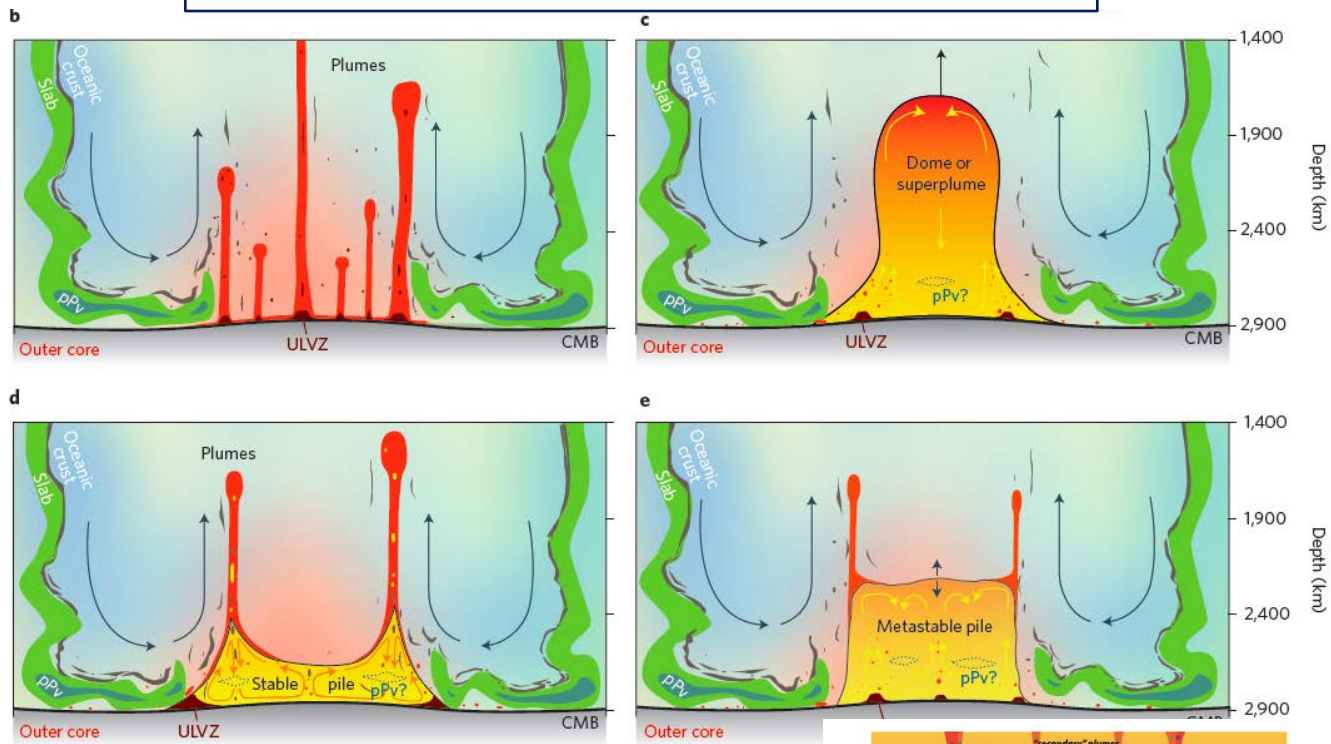


Wen et al., 2002

## Nature et rôle des LLSVPs dans la circulation mantellique?

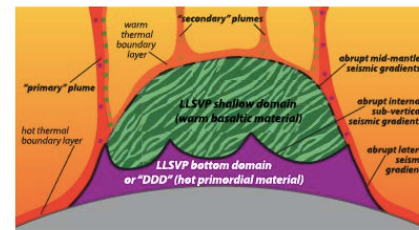
- Stables depuis plus de 250 Ma
- Bords abrupts en Vs => incompatible avec interprétation purement thermique
- Anisotropie forte à l'extérieur mais pas à l'intérieur -> rôle de la transition de phase Pv->pPv?
- Réservoir de matière "primordiale" ou de matière recyclée par la subduction?
- Plus denses ou plus légères? (*Koelemeijer et al., 2017; Lau et al., 2017*)

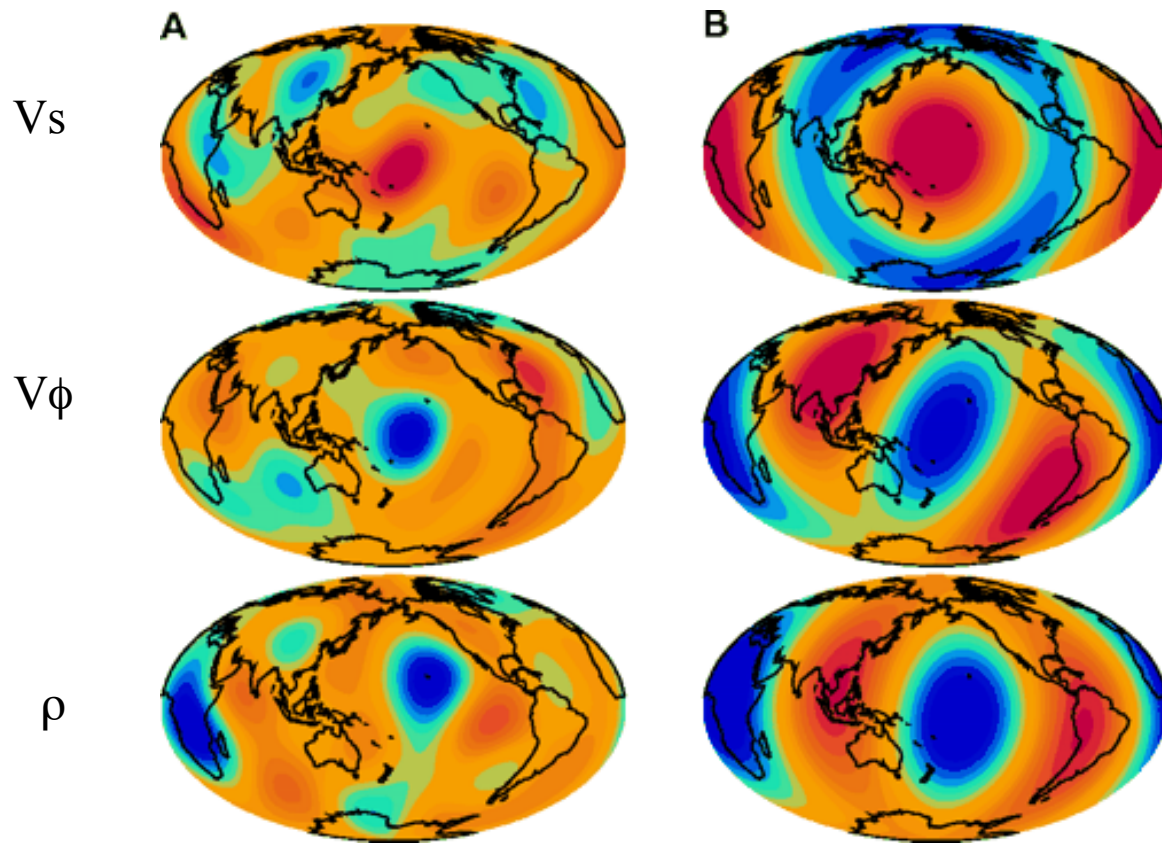
# Schémas d'interprétation possible des LLSVPs



Garnero et al., 2016

Ballmer et al. 2016

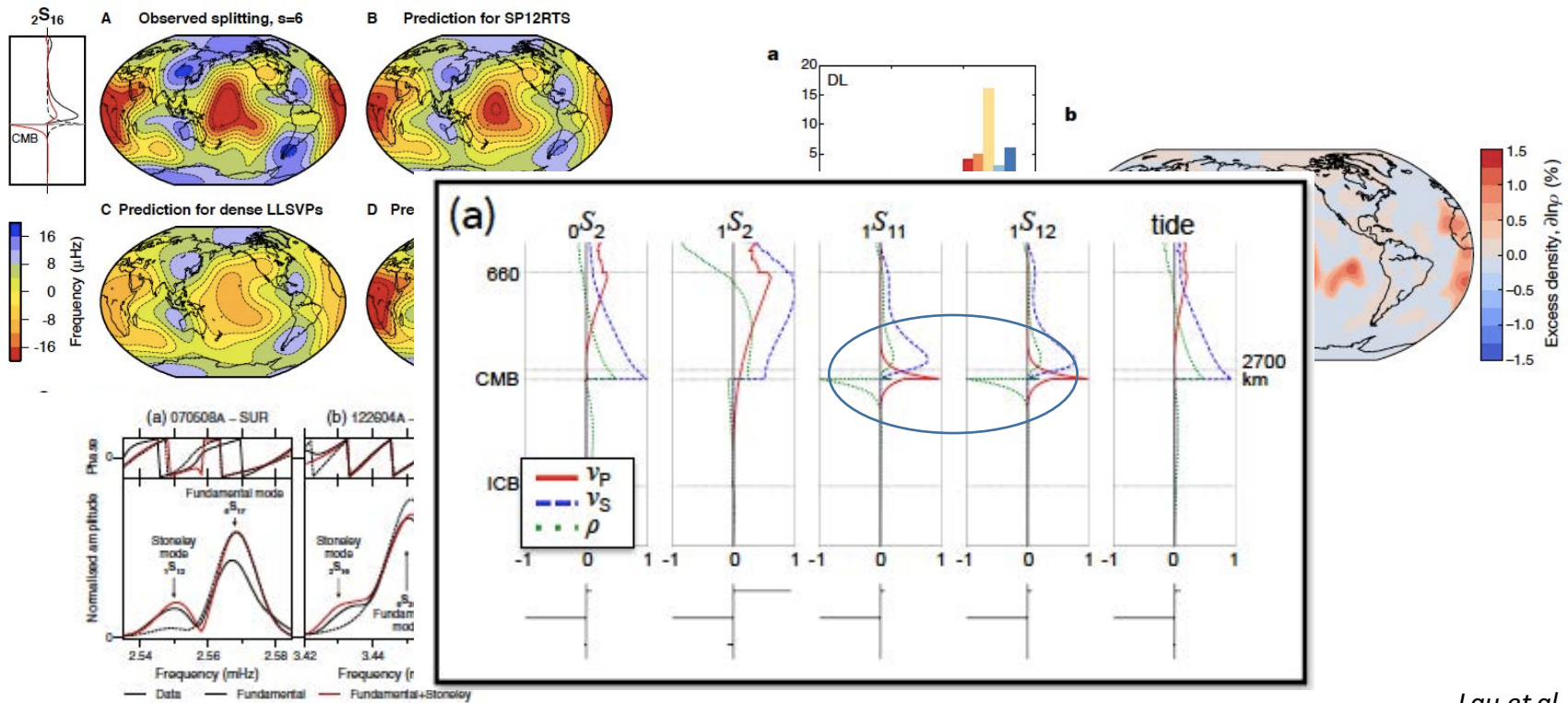




*Ishii and Tromp, 2000*

Tomographie des modes propres  
dits de Stoneley:  
“LLSVPs sont plus légères”

Tomographie de la  
marée solide



Koellemeijer et al., NatGeo, 2017

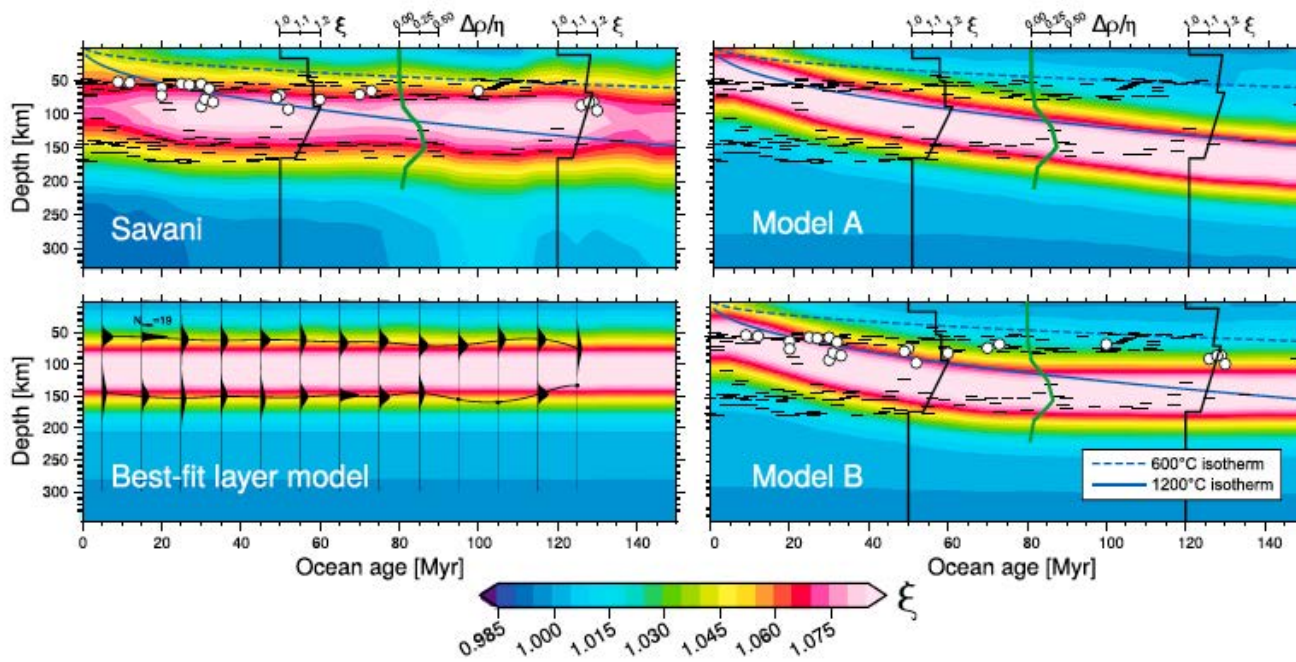
Lau et al., 2017

## Méthodologies nouvelles de tomographie sismique (depuis 15 ans)

- ◆ Inversion de la forme d'onde complète
- ◆ Inversion des données de bruit sismique:  
ANT: Ambient Noise Tomography

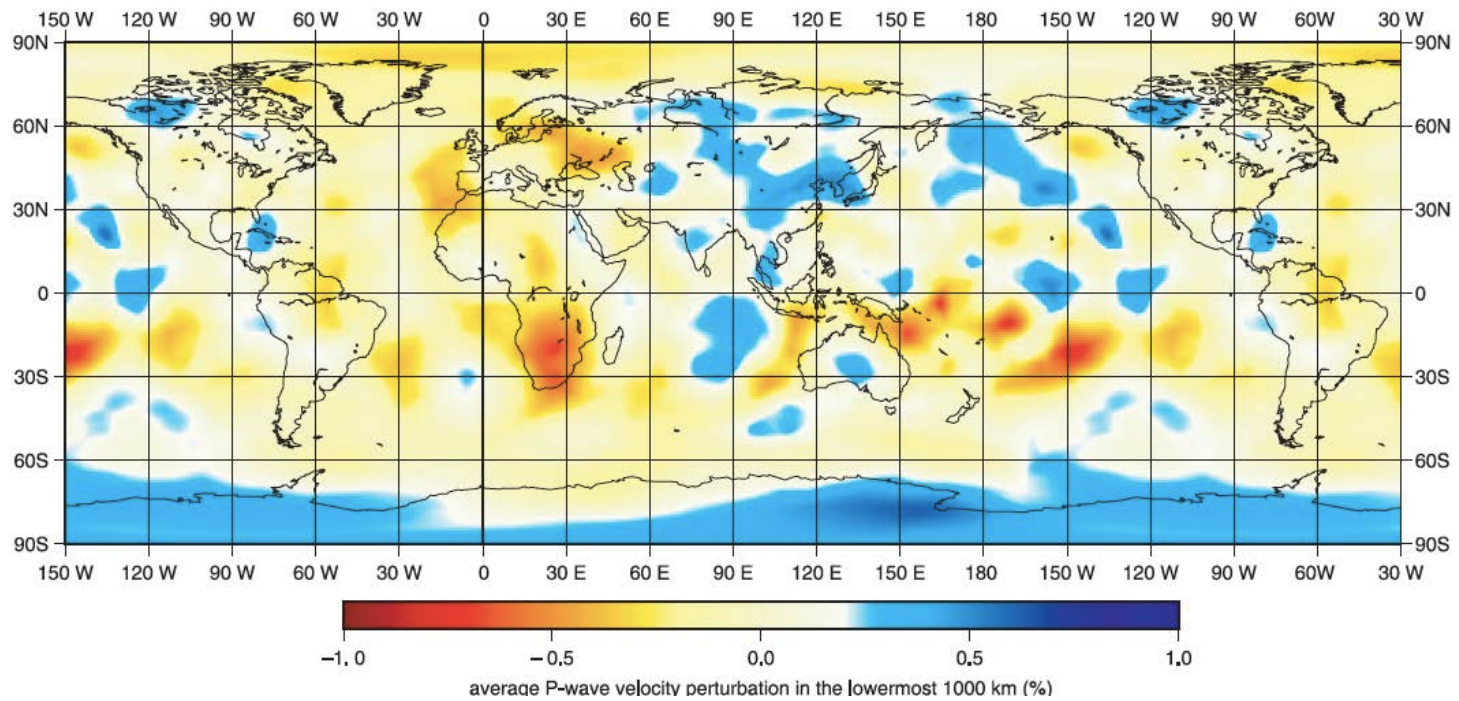


Modèle sismique:  $\xi$



*Auer et al., 2015*

Anomalie de vitesse moyennée sur 1000 km du manteau profond (1800-2800 km de profondeur)

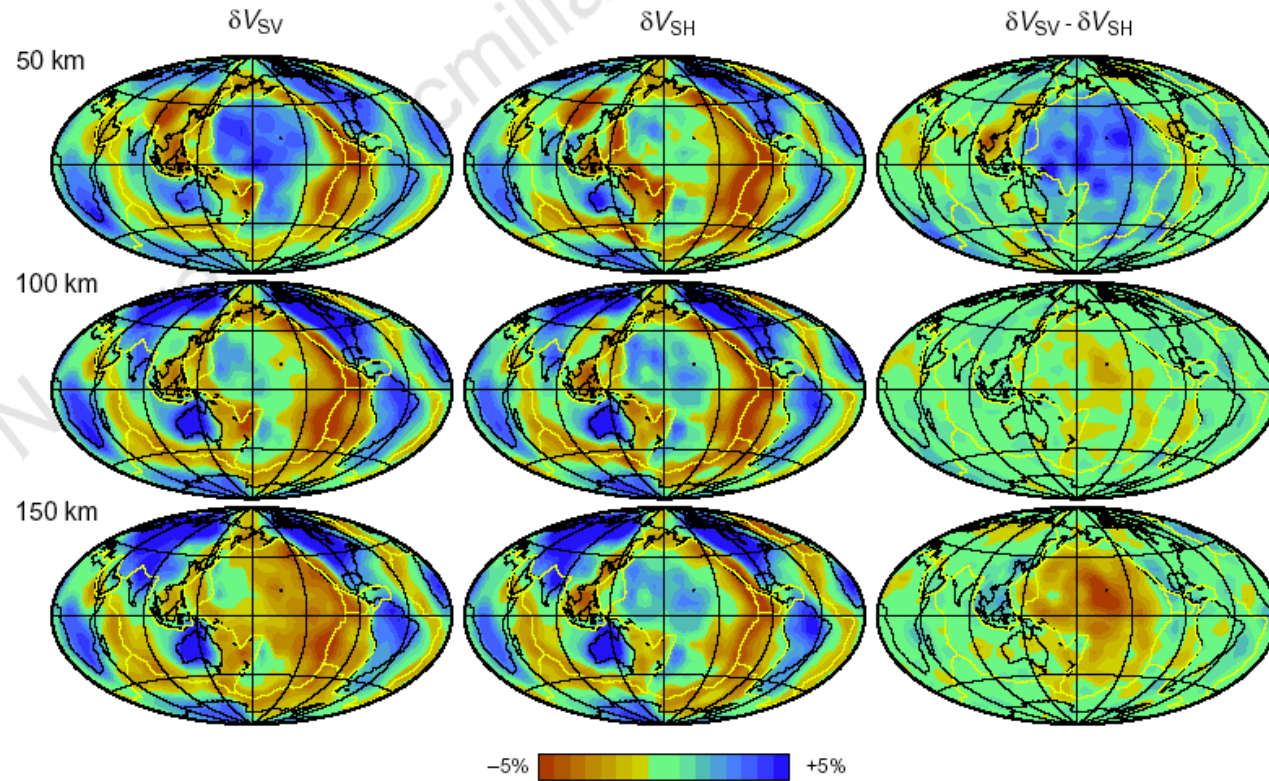


*Montelli et al., 2004*

## Tomographie des ondes de surface: Love (SH) & Rayleigh (SV)

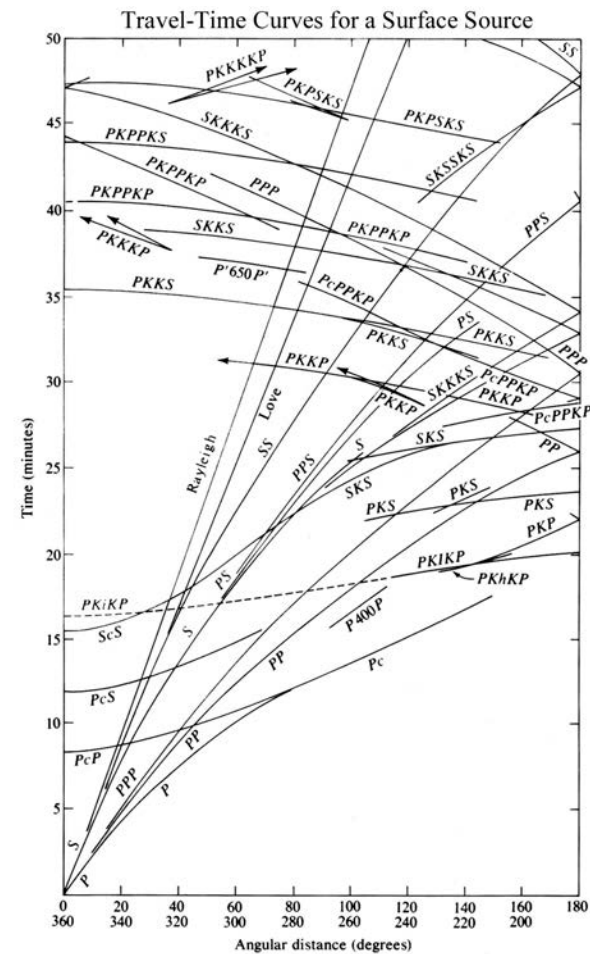
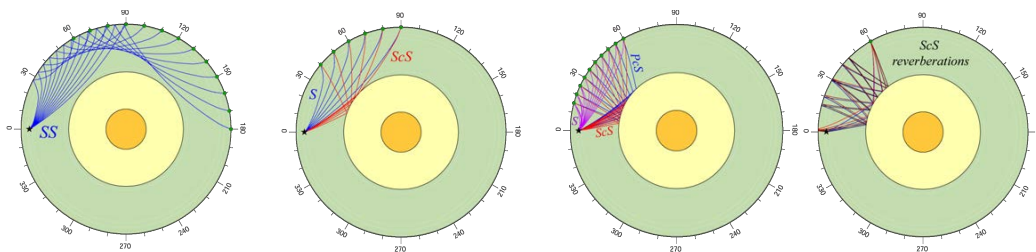
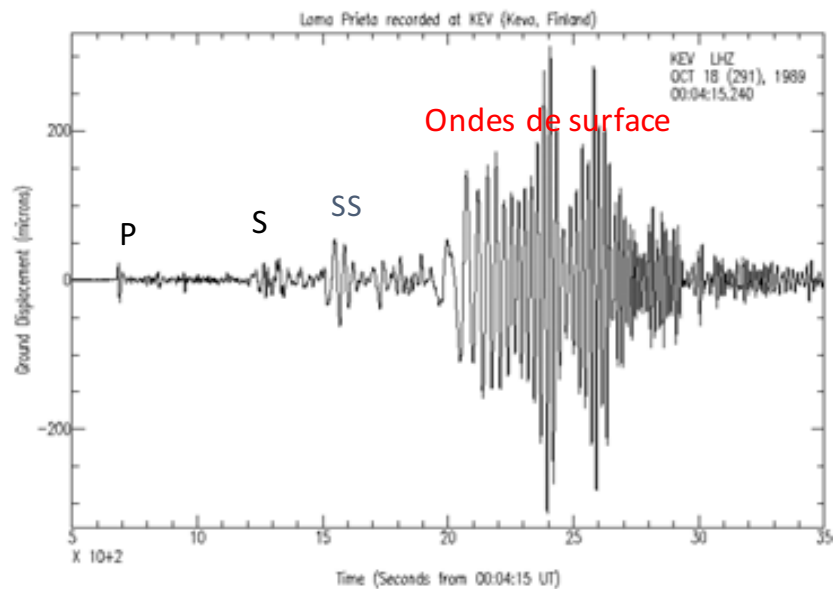
Anisotropie radiale sous les bassins océaniques

• Anisotropie radiale



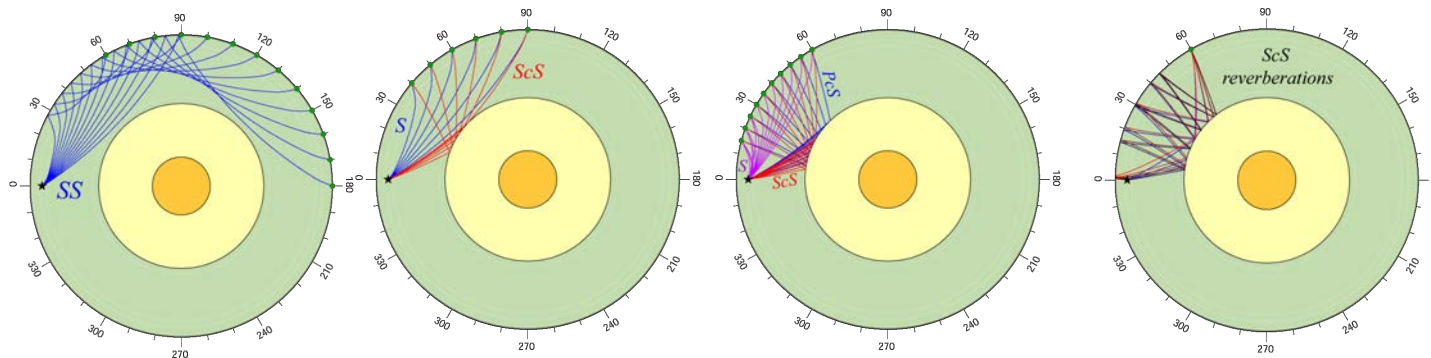
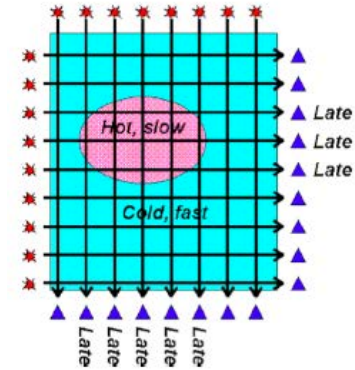
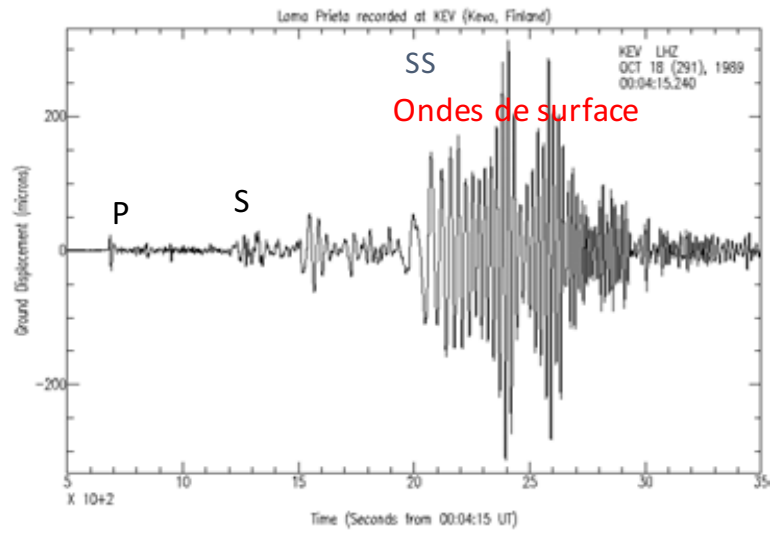
Modèle S20 représenté par rapport au modèle PREM

# Richesse du champ des ondes télésismique



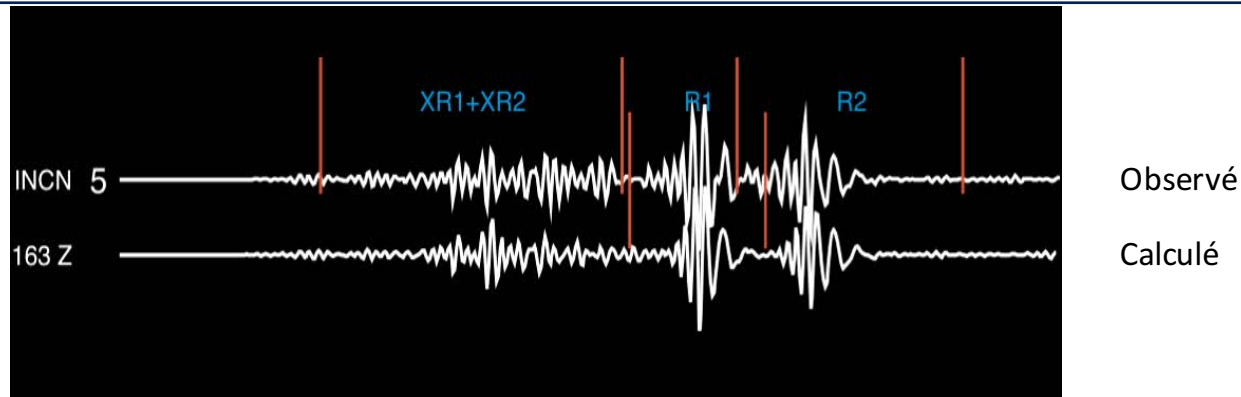
Sketches d'après E. Garnero

# Richesse du champ des ondes télesismique



Sketches from E. Garnero's website

## Les défis de l'inversion de la forme d'onde sismique en sismologie globale



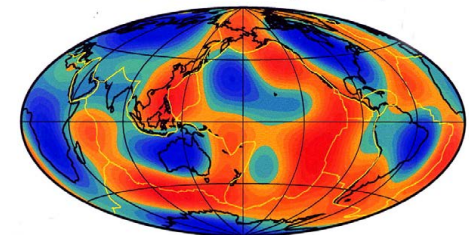
- On doit comparer un sismogramme observé à un sismogramme “synthétique”, prédit dans un modèle 3D de la Terre.
- => Problème non-linéaire: solution peut dépendre du modèle initial choisi
- => Comment calculer le sismogramme “synthétique” 3D de manière précise?
  - 1D: sommation de modes propres
- => Comment définir la fonction coût:
  - Amplitudes différentes des arrivées d'énergie successives
  - Domaine temporel ou spectral?
  - Risque de “cycle slipping”
- => On doit tenir compte de la source (amplitude et phase) et faire des “corrections de croûte”

## Inversion de la forme d'onde dans le domaine temporel en sismologie globale

- *Woodhouse and Dziewonski (1984):*
- Théorie de perturbation des modes propres au 1er ordre
- Approximation “du trajet moyen”: Path AVerage Approximation (PAVA) ->  
=> approximation valable pour le mode fondamental des ondes de surface:  
=> on suppose que les ondes sont sensibles uniquement à la structure moyenne (le long du grand cercle) entre la source et la station

Modèle de source obtenu par inversion du tenseur des moments -> solution CMT (Centroid Moment Tensor, *Dziewonski, Chou and Woodhouse, 1981*)

Model M84C (100 km)

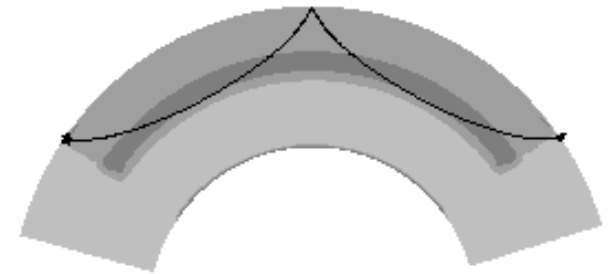


Modèle de manteau supérieure en Vs

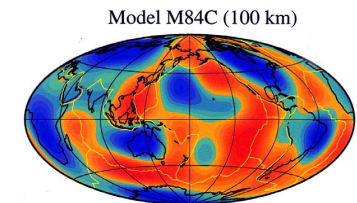
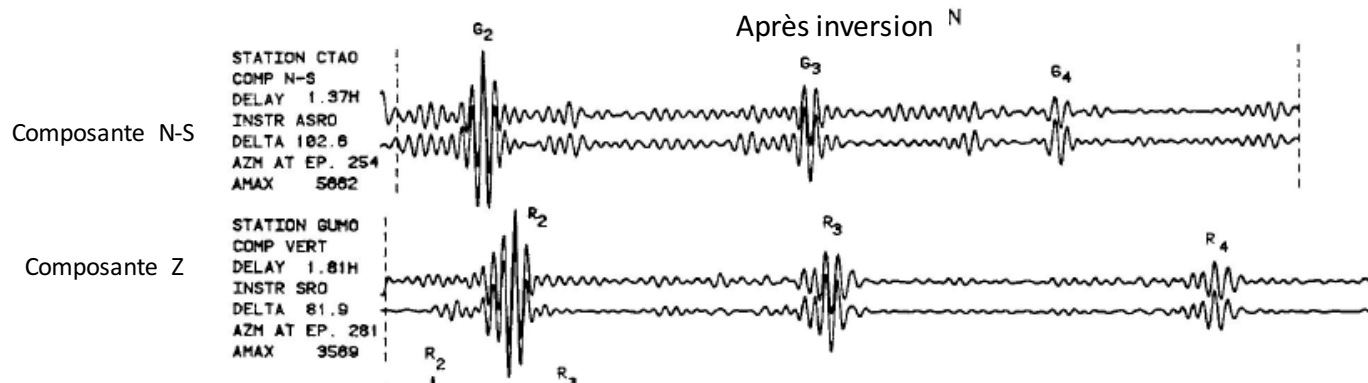
Cas 1D  $u(\vec{x},t) = \text{Re}\left\{ \sum_k A_k^0(\Delta) e^{i(\omega_k t)} e^{-\alpha_k t} \right\}$

Cas 3D  $u(\vec{x},t) = \text{Re}\left\{ \sum_k A_k^0(\Delta + \delta\Delta_k) e^{i(\omega_k + \delta\hat{\omega}_k)t} e^{-\alpha_k t} \right\}$

Perturbation de distance épacentrale  $\delta\Delta_k$  et de fréquence propre  $\delta\hat{\omega}_k$  pour chaque mode k



## Inversion de la forme d'onde dans le domaine tempore en sismologie globale

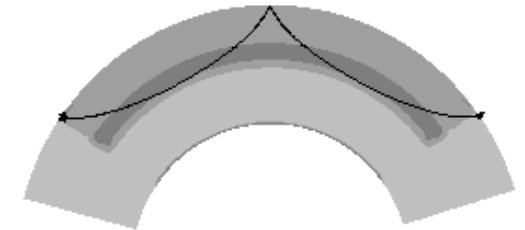


Sismogrammes filtrés à très longue période  $T > 135$  s (évite le saut de cycle)

Permet de modéliser les ondes de surface, et dans une certaine mesure les modes harmoniques, *dans le domaine temporel*

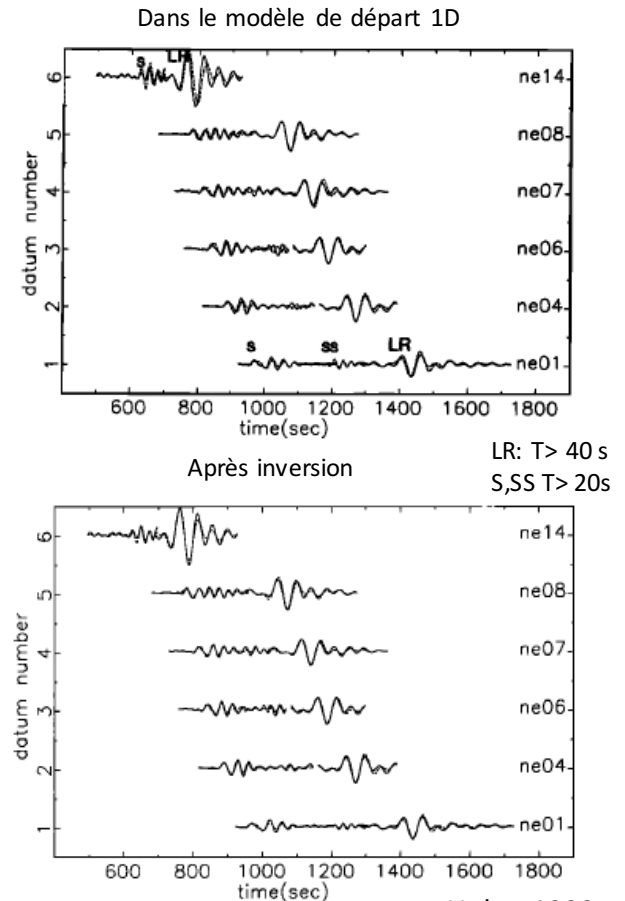
*Important pour les harmoniques, dont les différentes branches sont difficiles à séparer à cause de vitesses de groupe similaires*

Plus tard, le groupe de Harvard combinera les formes d'onde à très longue période avec les temps de propagation des ondes S, SS, SKS dans le cadre de la théorie des rais pour construire des modèles du manteau entier (e.g. *Su and Dziewonski, 1994; Kustowski et al., 2008*)

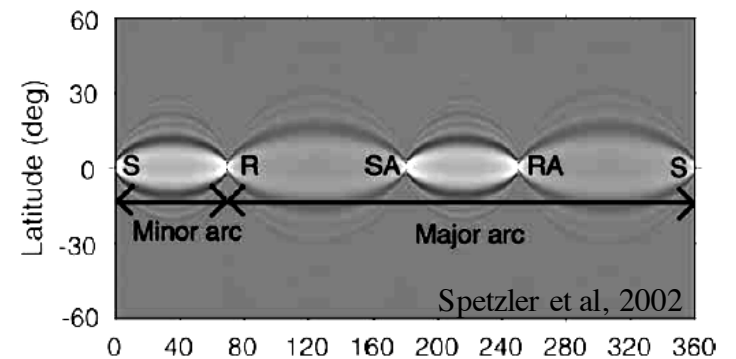


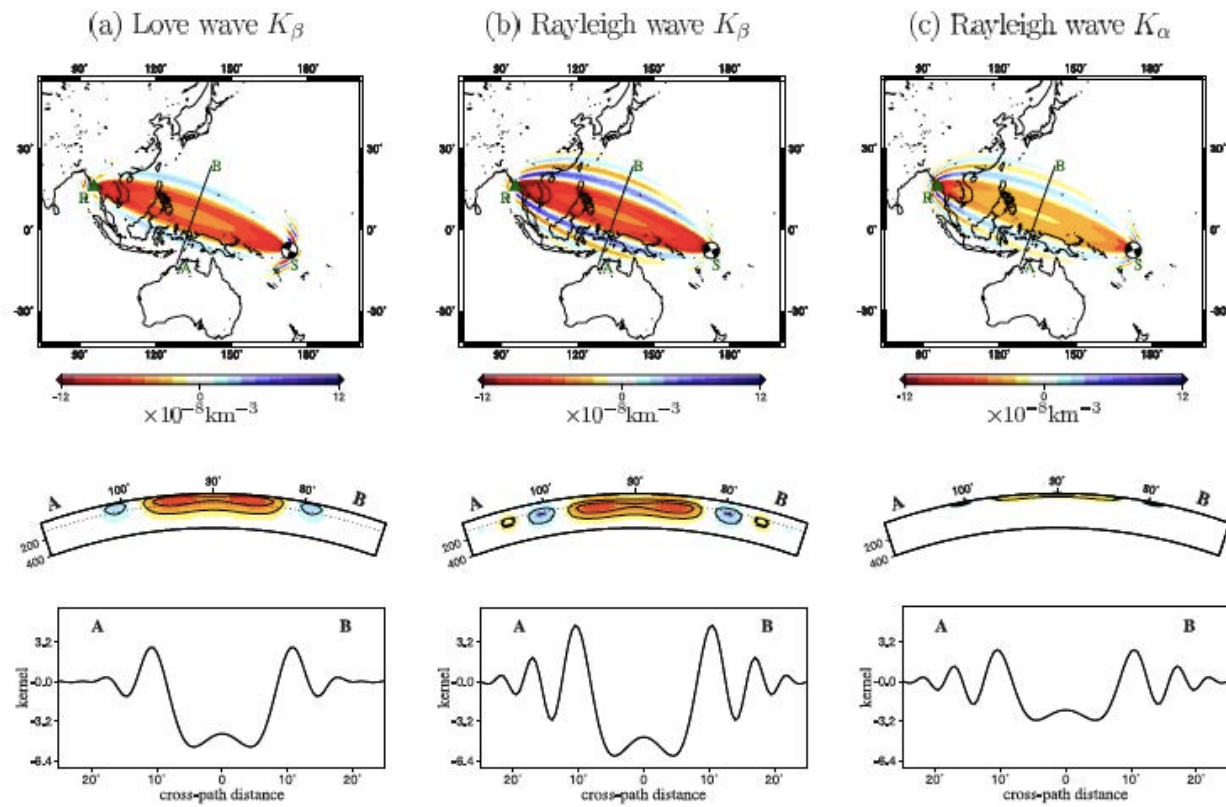
- Nolet (1990): “Partitioned waveform inversion”
  - Concept similaire dans un cadre d’ondes de surface progressives
  - Inversion en deux étapes:
    - 1) trouver un modèle de terre 1D  $\delta V_s(r)_\gamma$ , sur chaque trajet particulier source-station  $\gamma$  (problème non-linéaire), permettant d’expliquer les formes d’onde observées sur ce trajet
    - 2) Combiner les modèles moyens obtenus sur chaque trajet  $\gamma$  pour obtenir un modèle de perturbations 3D:  $\delta V_s(r, \theta, \phi)$  (problème linéaire)
  - Similaire à l’inversion des données de vitesses de phase des ondes de surface, mais dans le domaine temporel: permet d’inclure les formes d’onde des modes harmoniques
    - Permet d’atteindre la zone de transition
  - Nombreuses études de structure régionale et plus récemment globale, du manteau supérieur ont suivi cette méthode:
    - Eg *vanderLee and Nolet* (1997), *Schaeffer and Lebedev* (2014): continent nord Américain; *Lebedev and Nolet* (2003) Asie du sud-Est
    - *Schaeffer and Lebedev* (2013), global

### Exemples de comparaison observés-synthétiques

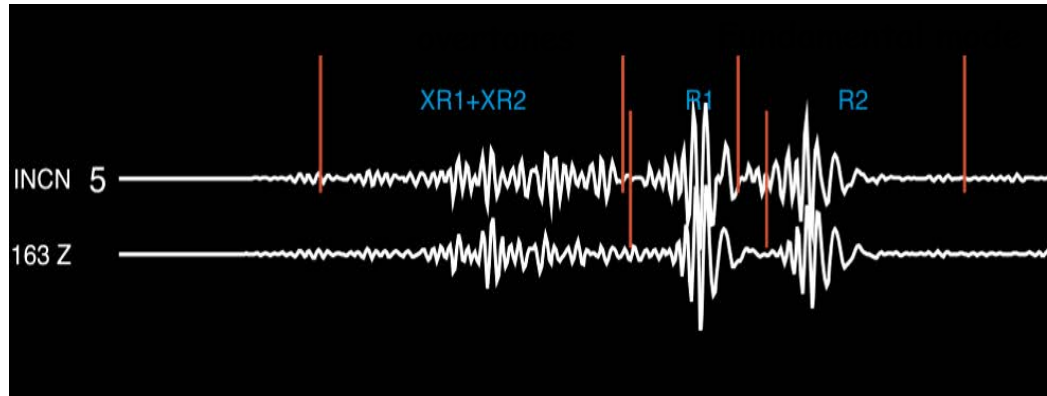


- Nolet (1990): “Partitioned waveform inversion”
  - Concept similaire dans un cadre d’ondes de surface progressives
  - Inversion en deux étapes:
    - 1) trouver un modèle de terre 1D  $\delta V_s(r)_\gamma$ , sur chaque trajet particulier source-station  $\gamma$  (problème non-linéaire), permettant d’expliquer les formes d’onde observées sur ce trajet
    - 2) Combiner les modèles moyens obtenus sur chaque trajet  $\gamma$  pour obtenir un modèle de perturbations 3D:  $\delta V_s(r, \theta, \phi)$  (problème linéaire)
- Similaire à l’inversion des données de vitesses de phase des ondes de surface, mais dans le domaine temporel: permet d’inclure les formes d’onde des modes harmoniques
  - Permet d’atteindre la zone de transition
- Nombreuses études de structure régionale et plus récemment globale, du manteau supérieur ont suivi cette méthode:
  - Eg *vanderLee and Nolet* (1997), *Schaeffer and Lebedev* (2014): continent nord Américain; *Lebedev and Nolet* (2003) Asie du sud-Est
  - *Schaeffer and Lebedev* (2013), global
- Introduction de noyaux de sensibilité de “fréquence finie” pour les ondes de surface (Zhou, Dahlen & Nolet, 2004)
  - Permet de tenir compte des effets de focalisation et défocalisation d’énergie autour du grand cercle source station (SR)

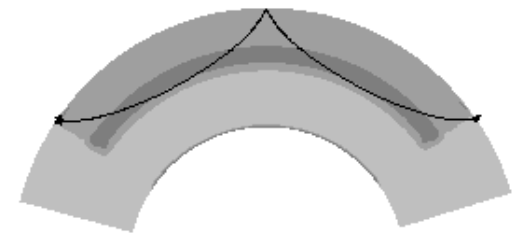
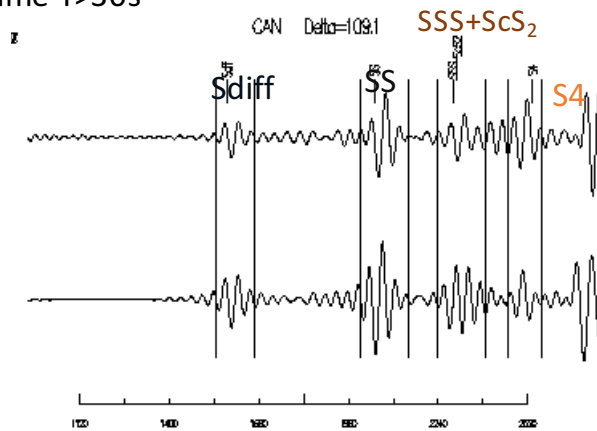




Formes d'onde de surface T>60s

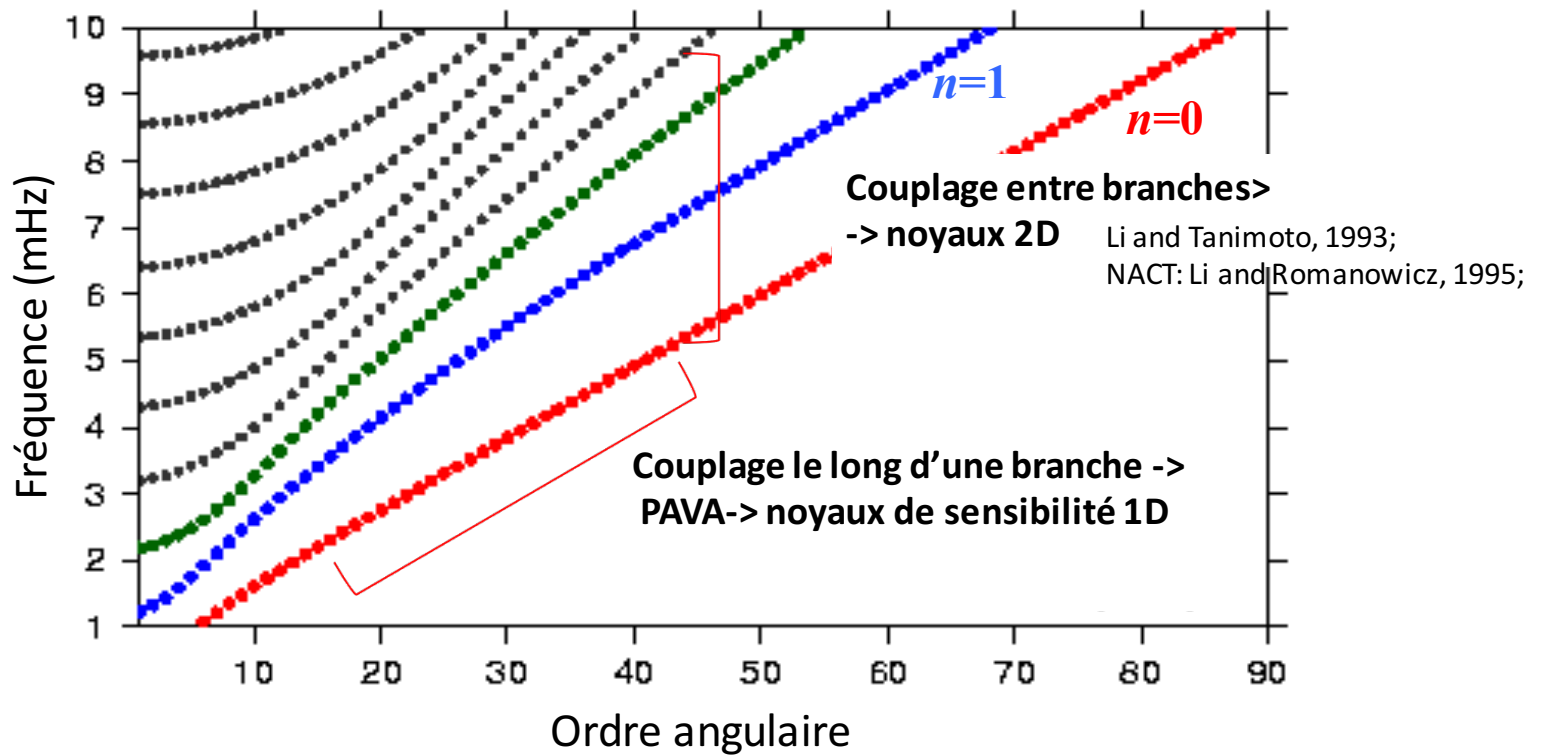


Formes d'onde de volume T>30s



L'approximation "PAVA" ne permet pas de rendre compte de la sensibilité des ondes de volume autour du rai

## Modes toroidaux : $n T l$

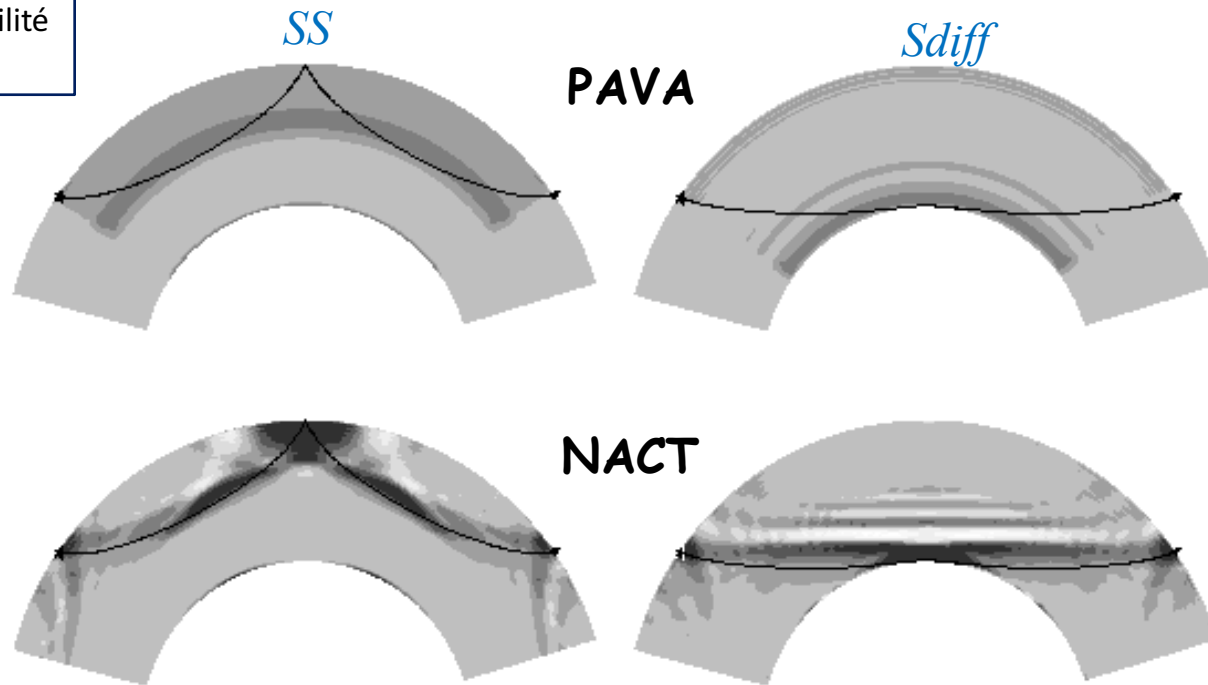


$l$ : ordre angulaire, nombre de noeuds de vibration dans le plan horizontal

$n$ : ordre radial (harmonique), nombre de noeuds de vibration dans la direction radiale

Noyaux de sensibilité  
1D/2D

Couplage le long  
d'une branche de  
Modes->PAVA



*Li and Romanowicz, 1995*

Non linear Asymptotic Coupling Theory:

Inclut le couplage entre les différentes branches de modes

$$u(\mathbf{x}, t) = \text{Re}\left\{ \sum_k A_k^0 (\Delta + \delta\Delta) e^{i(\omega_k + \delta\hat{\omega}_k)t} + \right.$$

Termes de couplage  
Approx. asymptotique  
à la théorie de  
diffusion du premier  
ordre (Born)

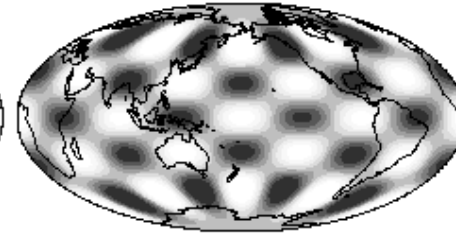
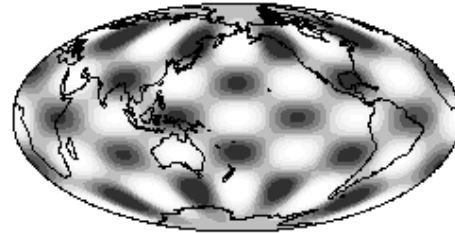
Test de résolution avec  
Inversion PAVA et NACT

*Synthétiques calculés dans  
le cadre de la théorie  
NACT*

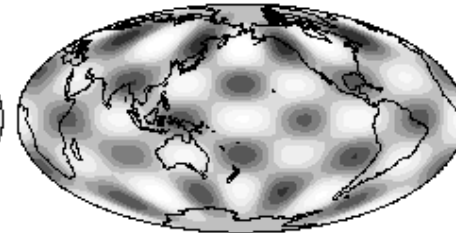
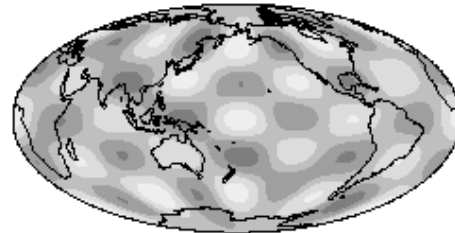
PAVA

NACT

*d=250km*

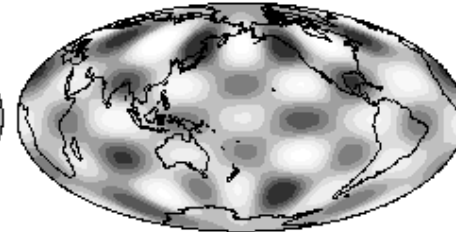
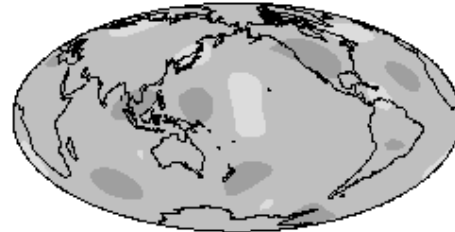


*2000km*



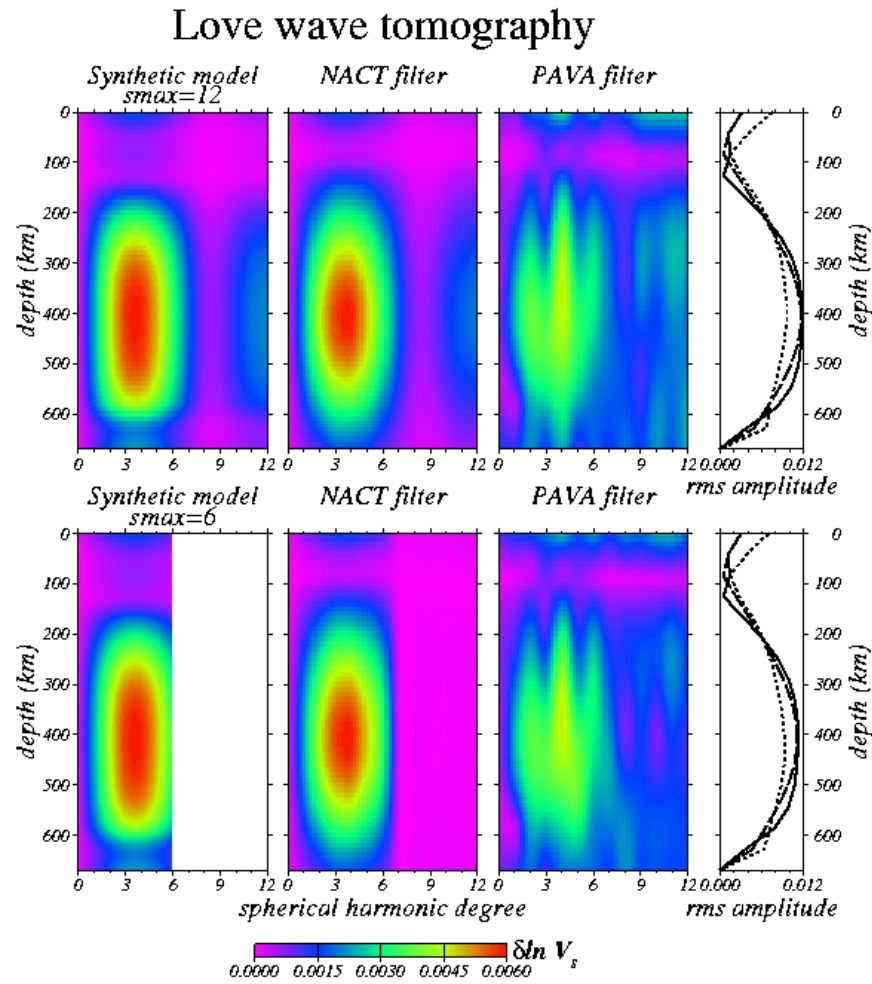
NACT important pour  
le manteau profond!

*2750km*



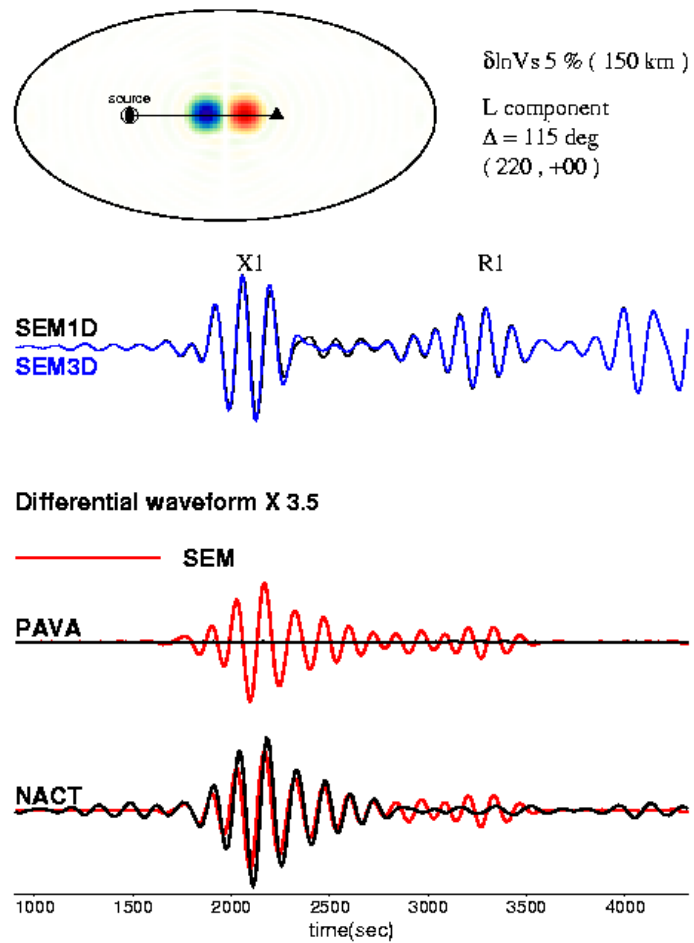
*Li and Romanowicz, 1995*

Synthétiques calculés dans le cadre de la théorie NACT



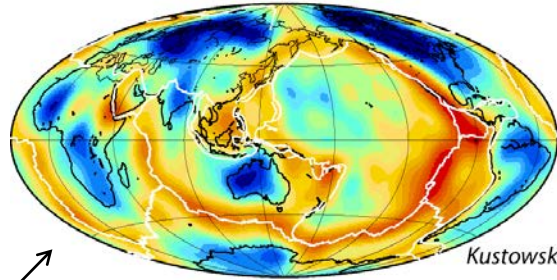
Mégnin and Romanowicz, 1999

Test synthétique plus récent  
(~2003):  
Calcul avec la méthode des  
éléments spectraux (SEM)

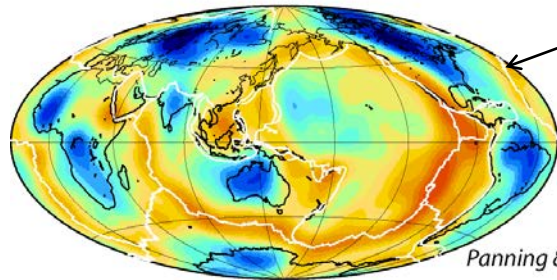


Vs isotrope  
Profondeur = 100 km

- Temps de parcours longue période S, SS, ScS, SKS...
- - Dispersion ondes de surface et harmoniques
- Modes propres
- Approximation haute fréquence

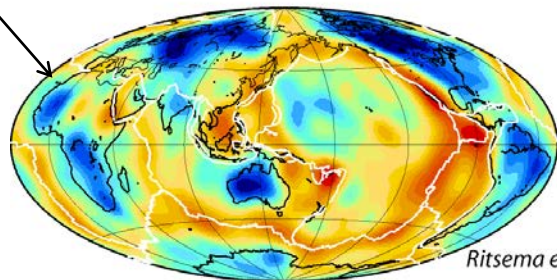


Harvard

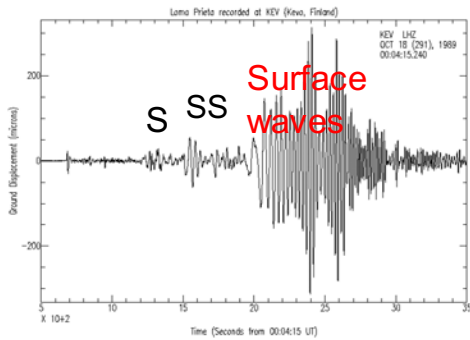
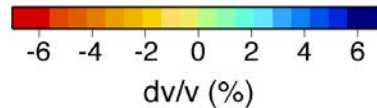


Formes d'onde temporelles  
~20,000 +NACT

Berkeley



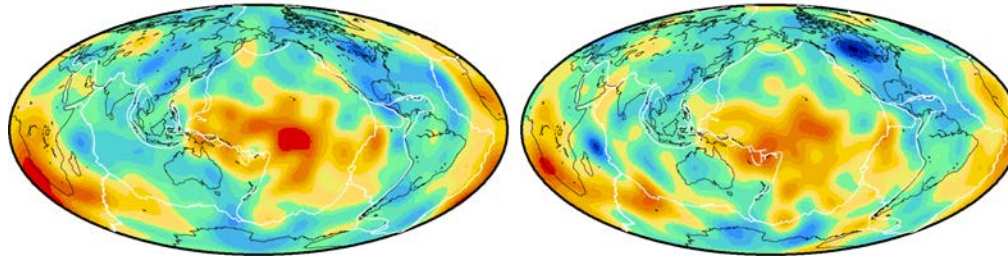
Caltech



## Profondeur: 2800 km

S362ANI  
This study

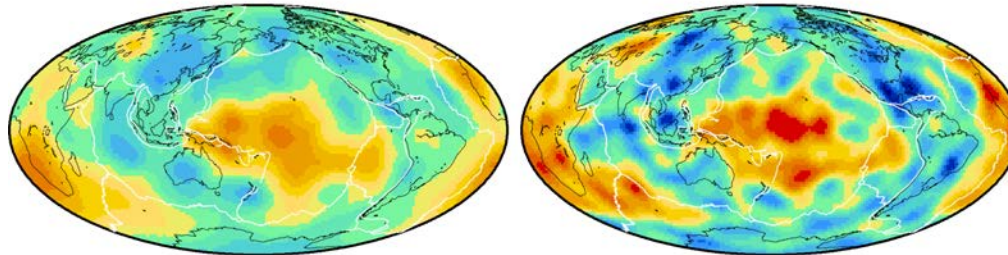
S362D1  
Gu et al. (2001)



PAVA pour formes  
d'onde + théorie des  
rais (ondes de  
volume)

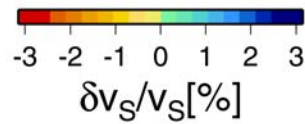
SB4L18  
Masters et al. (2000)

SAW24B16  
Megnin & Romanowicz (2000)



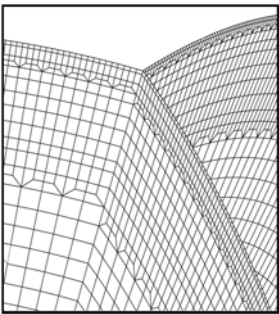
Dispersion ondes de  
surface  
+ théorie des rais  
(ondes de volume)+  
fréquences de modes  
propres

Formes d'onde  
uniquement –  
NACT (Problème direct  
et problème inverse)

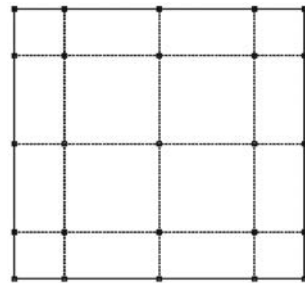


# Méthode des éléments spectraux en tomographie de forme d'onde globale et régionale

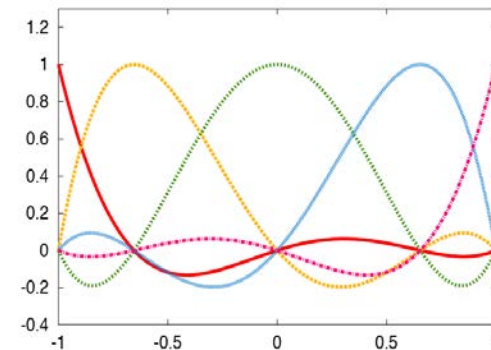
- Méthode introduite dans la communauté de sismologie globale par
  - Komatitsch et Vilotte (1998)
  - Komatitsch et Tromp (1999, 2002)
    - Méthode numérique d'intégration des équations du mouvement sous forme "faible"
    - Méthode d'éléments finis avec interpolation par polynômes de Lagrange de degré  $n$  définis sur les points GLL (Gauss, Legendre, Lobatto) (*quadrature de Gauss*)
    - On obtient une matrice de masse diagonale -> calcul efficace



points GLL de degré 4:

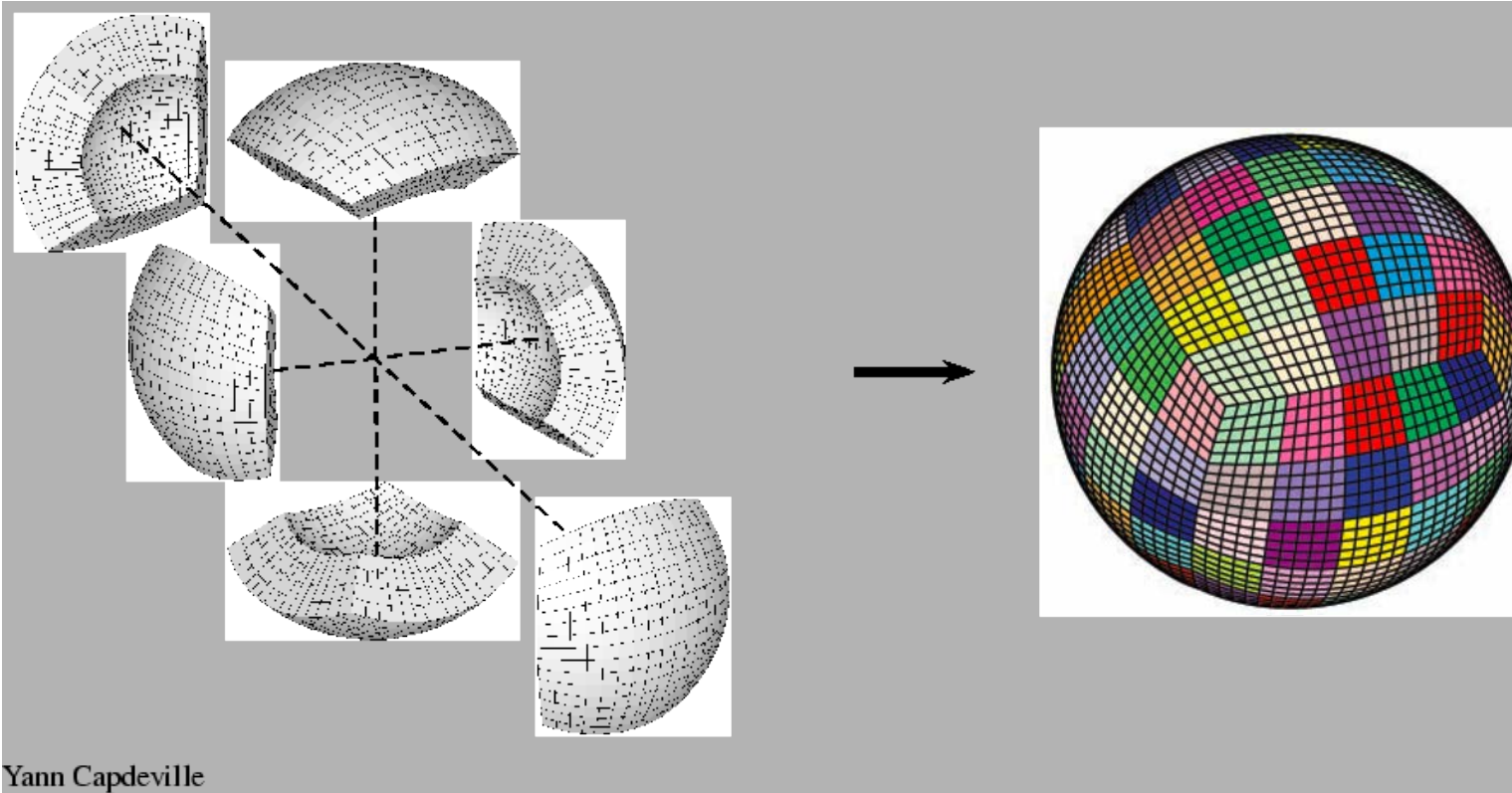


Les 5 polynômes de Lagrange de degré 4:

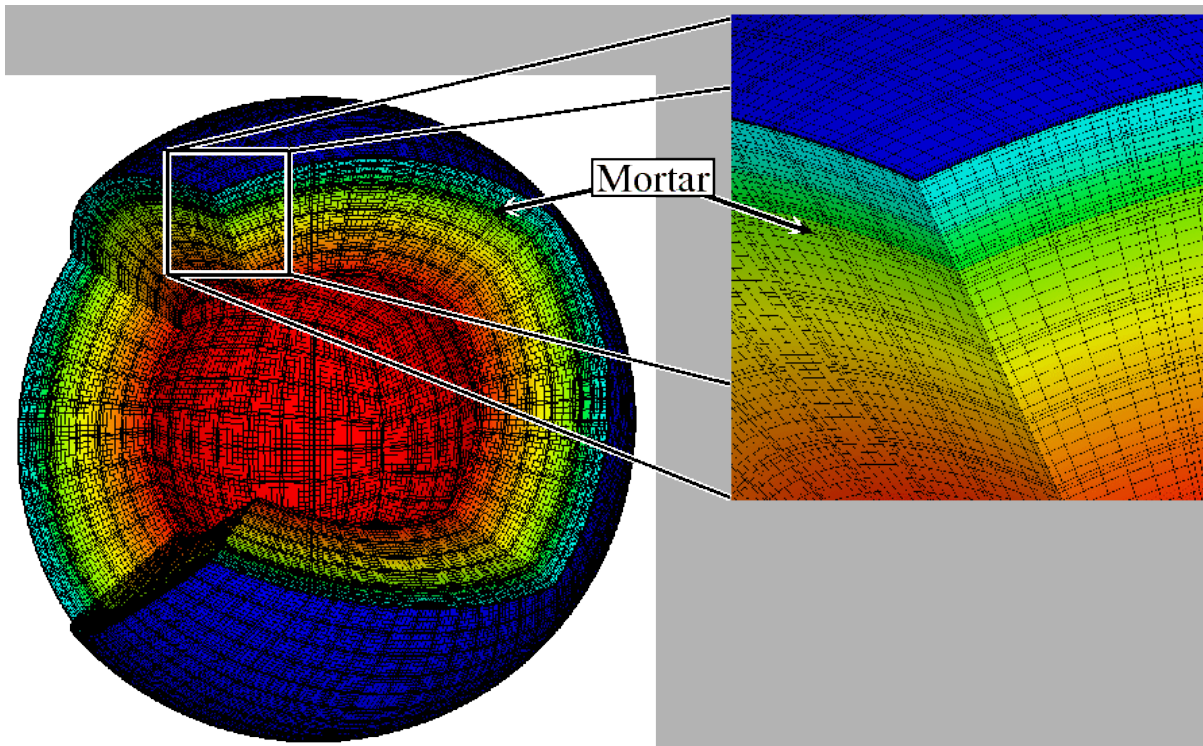


## Parallelisation

Partition de la grille globale: "La  
sphère cubique

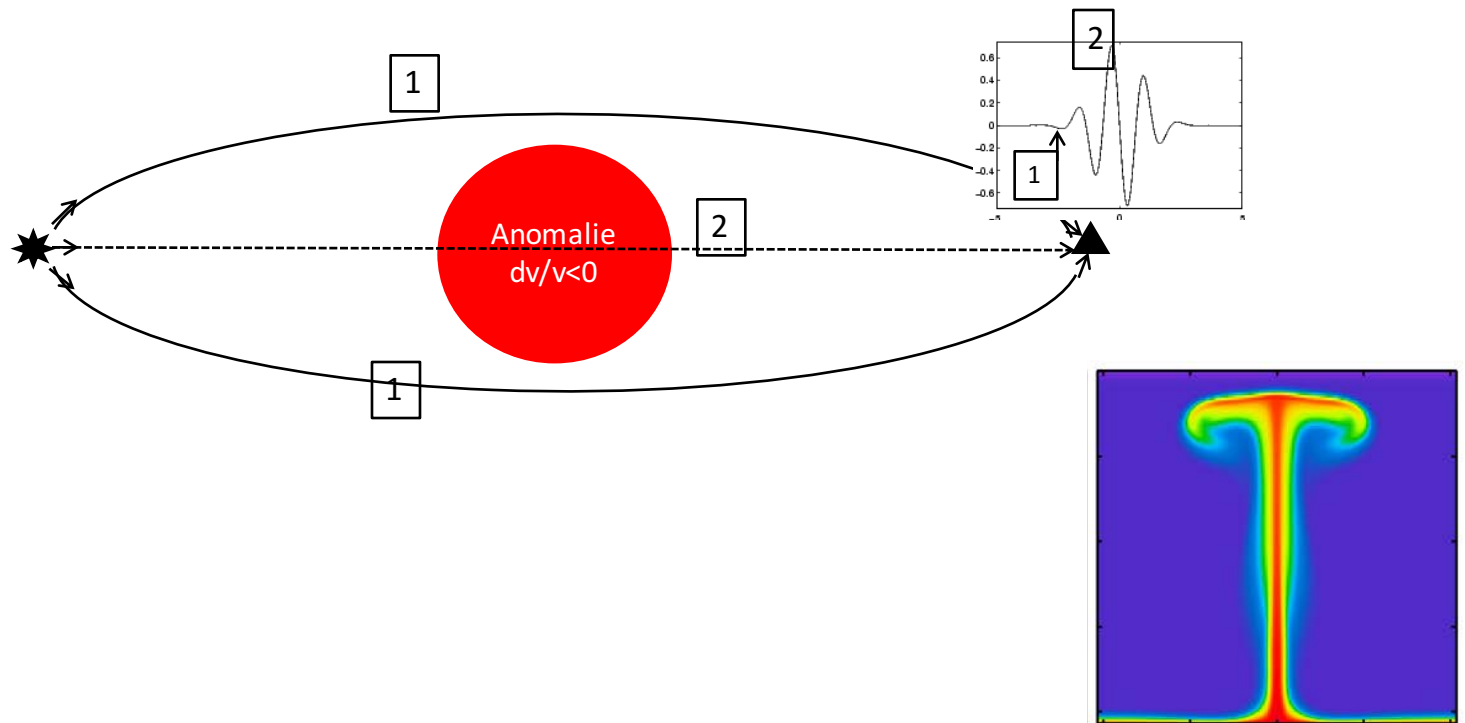


Cubed Sphere:  $6 n^2$  mesh slices

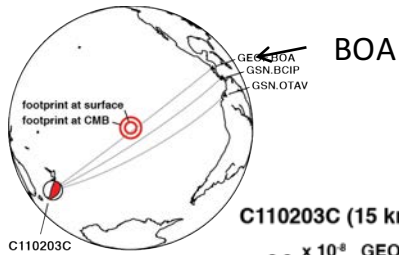


Yann Capdeville

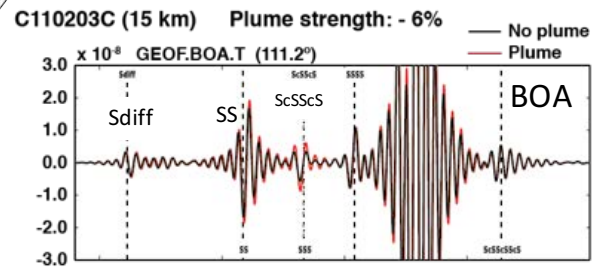
Les objets de vitesse plus faible et de petite taille sont  
"cachés" lorsqu'on ne considère que la première arrivée



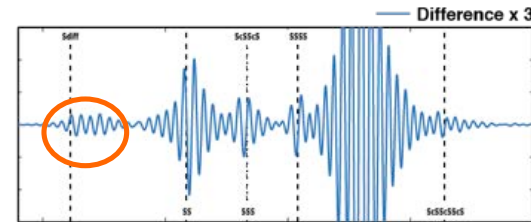
Panache synthétique de 600 km de diamètre de la surface à la CMB



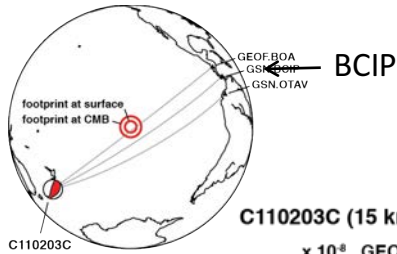
Bandpass: 30-350 s



Difference: panache – sans panache

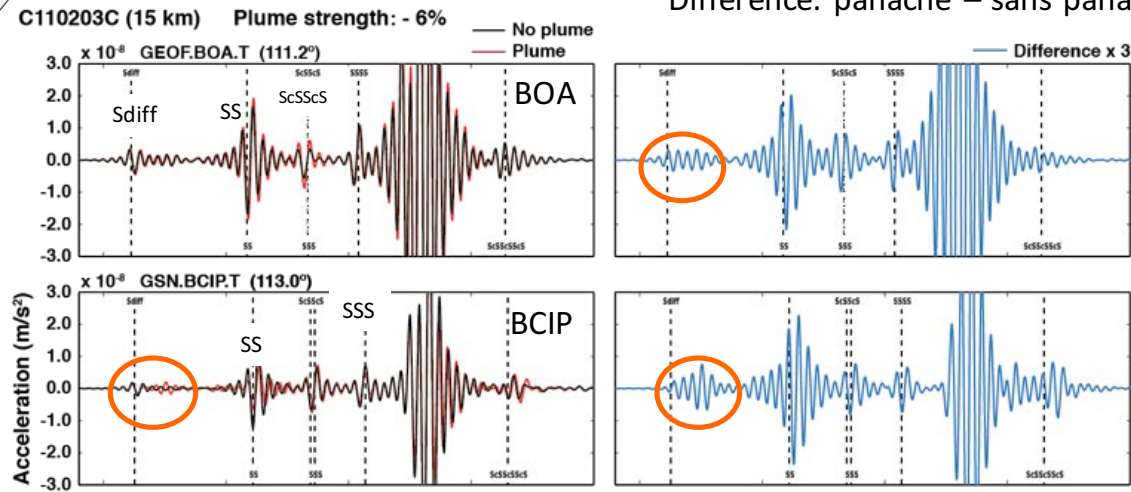


Panache synthétique de 600 km de diamètre de la surface à la CMB

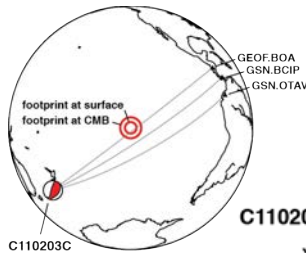


Bandpass: 30-350 s

Difference: panache – sans panache

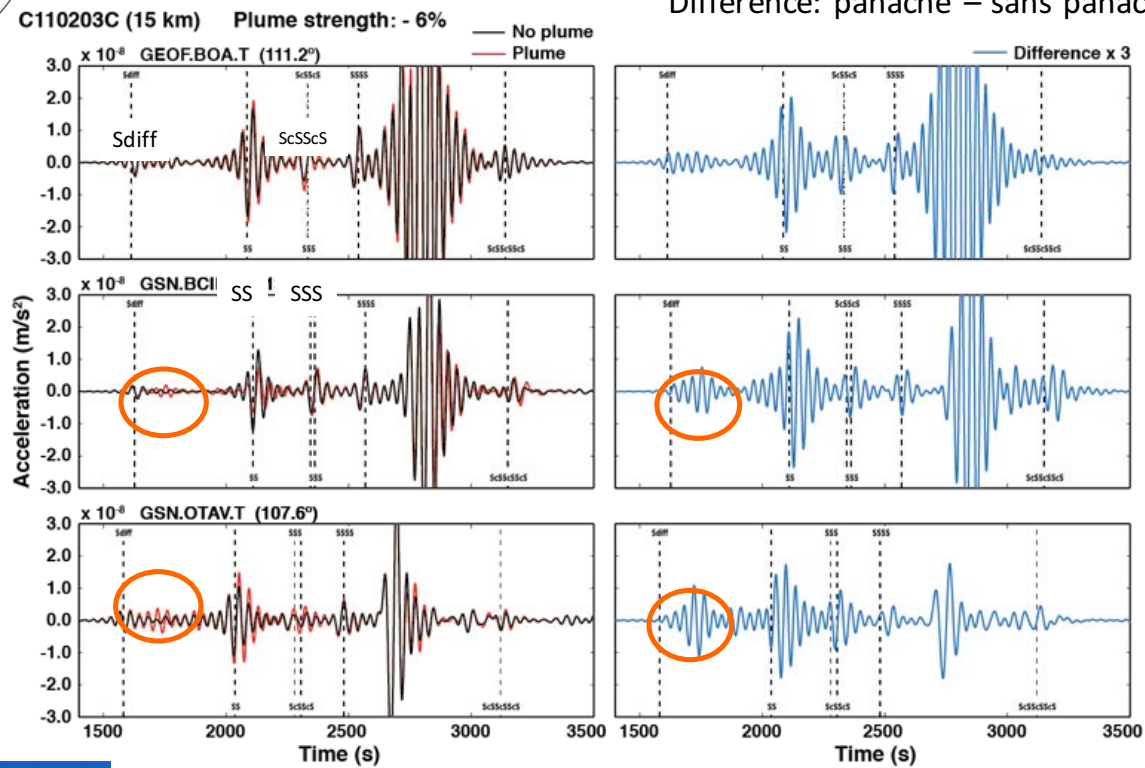


Panache synthétique de 600 km de diamètre de la surface à la CMB

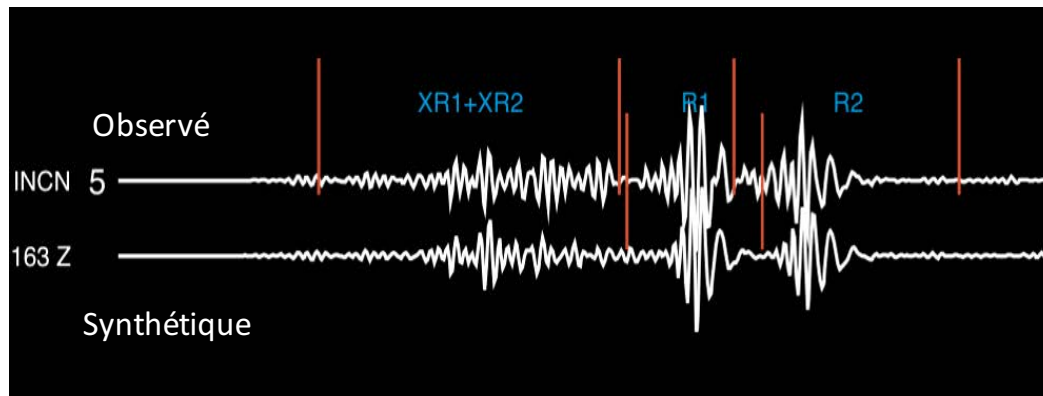


Bandpass: 30-350 s

Difference: panache – sans panache



## Tomographie de forme d'onde globale avec SEM



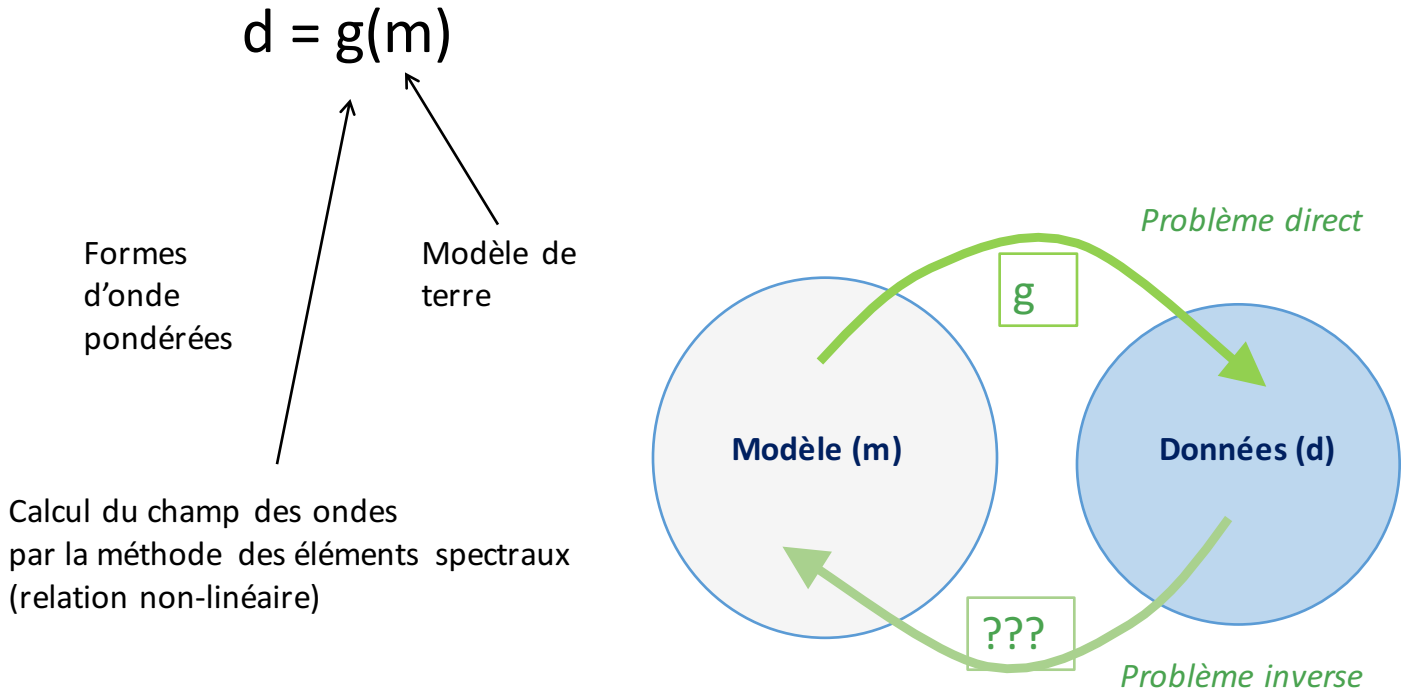
Problème direct: On a pu substituer les synthétiques 3D approximatifs par des synthétiques calculés par SEM et s'affranchir des approximations liées à la théorie des perturbations de premier ordre

*Difficultés*: - le temps de calcul croît avec  $\omega^3$

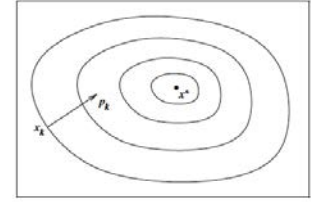
- Couches fines de vitesse lente dans la croûte ralentissent le calcul (Condition CFL)
- Calcul du champ des ondes pour plusieurs centaines de séismes et N itérations: nécessite l'accès aux calculateurs HPC

Problème inverse: *Choix de la méthode d'optimisation*

# Problème *direct* / Problème *inverse*



# Problème inverse: problème d'optimisation



- Choix de la fonction coût à minimiser

$$2\Phi(m) = (d - g(m))^t C_D^{-1} (d - g(m)) + (m - \langle m \rangle)^t C_M^{-1} (m - \langle m \rangle)$$

- Expansion de  $\Phi(m)$  en série de Taylor autour d'un modèle de départ  $m_0$ :

$$\Phi(m) = \Phi(m_0) + \nabla\Phi(m_0)(m - m_0)^T + \frac{1}{2}(m - m_0)^T H(m_0)(m - m_0) + \dots$$

- Gradient:  $\nabla\Phi = \left[ \frac{\partial\Phi}{\partial m_1}, \frac{\partial\Phi}{\partial m_2}, \dots, \frac{\partial\Phi}{\partial m_M} \right]$  vecteur des dérivées partielles de  $\Phi$

- Hessien:  $H_{ij} = \frac{\partial^2\Phi}{\partial m_i \partial m_j}(m_0)$  matrice des dérivées secondes de  $\Phi$  par rapport aux paramètres du modèle

$$2\Phi(m) = (d - g(m))^t C_D^{-1} (d - g(m)) + (m - \langle m \rangle)^t C_M^{-1} (m - \langle m \rangle)$$

- Evaluons le gradient de  $\Phi$  dans le cas simple où  $2\Phi(m) = (d - g(m))^T (d - g(m))$ :

$$\nabla\Phi(m_0) = -\left[\frac{\partial g}{\partial m}(m_0)\right]^T (d - g(m_0)) = -G^T (d - g(m_0)) = -G^T \delta d$$

- $G$  est la matrice des dérivées partielles du champ des ondes par rapport au modèle, évaluée dans le modèle de départ

- Evaluons le Hessian  $H$ :

$$H(m_0) = \frac{\partial^2 \Phi}{\partial m^2}(m_0) = G^T G + \left[\frac{\partial G}{\partial m}\right]^T (m_0) (d - g(m_0))$$

En général on néglige le second terme: justifié si les résidus sont faibles ou si le problème est faiblement non-linéaire

$$H(m_0) \approx G^T G$$

- La minimisation de  $\Phi$  revient à résoudre les équations de Gauss-Newton:

$$\nabla_{\min}(\Phi(m)) = \nabla\Phi(m_0) + H(m_0)(m - m_0) = 0$$

$$G^T G(m - m_0) = G^T \delta d$$

Hessien approximatif

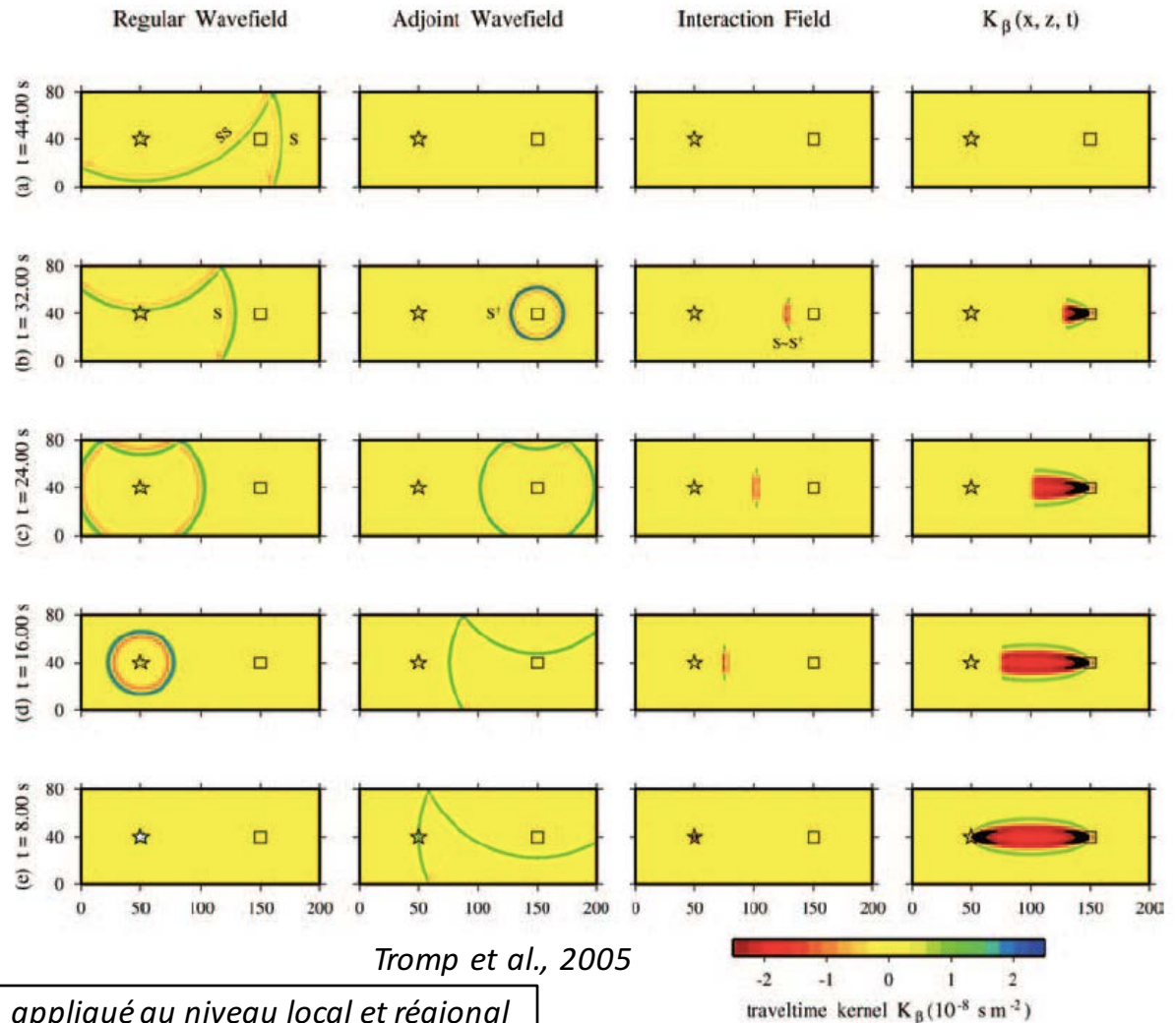
- gradient

$$\mathbf{G}^T \mathbf{G} (\mathbf{m} - \mathbf{m}_0) = \mathbf{G}^T \delta \mathbf{d}$$

Hessien approximatif      - gradient

### Tomographie par méthode des adjoints

- 1) Calcul du gradient "numérique" :
  - 2 calculs du champ des ondes SEM:
  - A) Calcul direct
  - B) Résidus comme source et
  - Rétropropagation du champ adjoint
  - On forme le produit du champ direct et du champ adjoint
  
- 2) Calcul du Hessien numérique trop lourd: on utilise une méthode linéaire de recherche du minimum, e.g. gradients conjugués, avec "conditionnement" (e.g. BFGS)



$$\boxed{G^T G(m - m_0) = G^T \delta d}$$

Hessien approximatif

- gradient

### Autre méthode: Tomographie globale hybride

(Lekic and Romanowicz, 2011; French et al., 2013; French and Romanowicz, 2014)

Inversion en calculant le gradient et le Hessien approximativement par NACT (perturbation des modes propres)

- Beaucoup plus rapide: convergence quadratique
- *Méthode hybride:*
  - Calcul direct par la méthode des éléments spectraux
  - Calcul inverse par perturbation de modes propres (NACT)
- Pour accélérer encore le calcul, on remplace la croûte par une croûte "homogénéisée"
  - Croûte lisse (sans discontinuités) obtenue par inversion de données de dispersion d'ondes de surface de courte période
    - Accélération du temps calcul d'un facteur 4
- Inversion longue période  $T > 60$  s -> manteau supérieur
- Puis on rajoute les formes d'ondes de volume  $T > 30$ s -> manteau inférieur

